



*Laboratoire National des Champs Magnétiques Intenses,
25 Rue des Martyrs, 38042 Grenoble*



La chimie de Coordination, un outil pour la conception de Matériaux Magnétiques Moléculaires

Nicolas BREFUEL

Aspet, 12-15 Octobre 2009

nicolas.brefuel@grenoble.cnrs.fr

1- Matériaux moléculaires: pourquoi et comment ?

- Intérêts / limitations
- Propriétés / spécificités...
- Exemples (molécules aimants ou SMM)

2- La transition de spin des complexes du Fe^{II}

- Synthèse rationnelle
- Correlation magneto-structurales
- Spectroscopie Mössbauer
- Photomagnétisme...

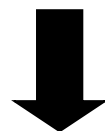
1- Matériaux moléculaires: pourquoi et comment ?

Chimie Moléculaire ?

Synthèse organique: préparation de nouveaux ligands organiques (C, H, N, S, O)

+

Chimie « inorganique »: sels de métaux de transition (3d, 4d, 5d, lanthanides)

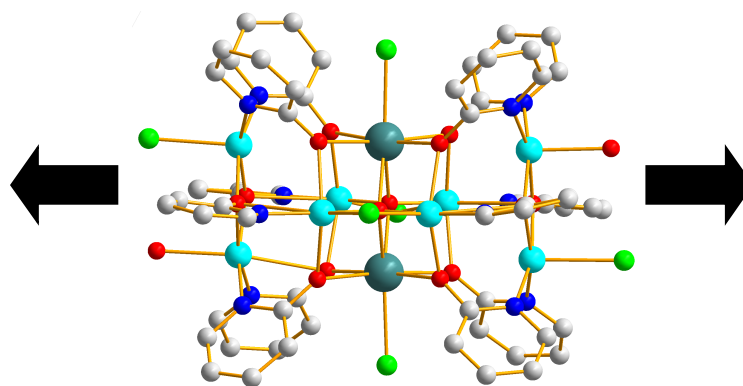


Chimie de coordination (douce)

Matériaux Moléculaires



Poudre microcristalline, amorphe



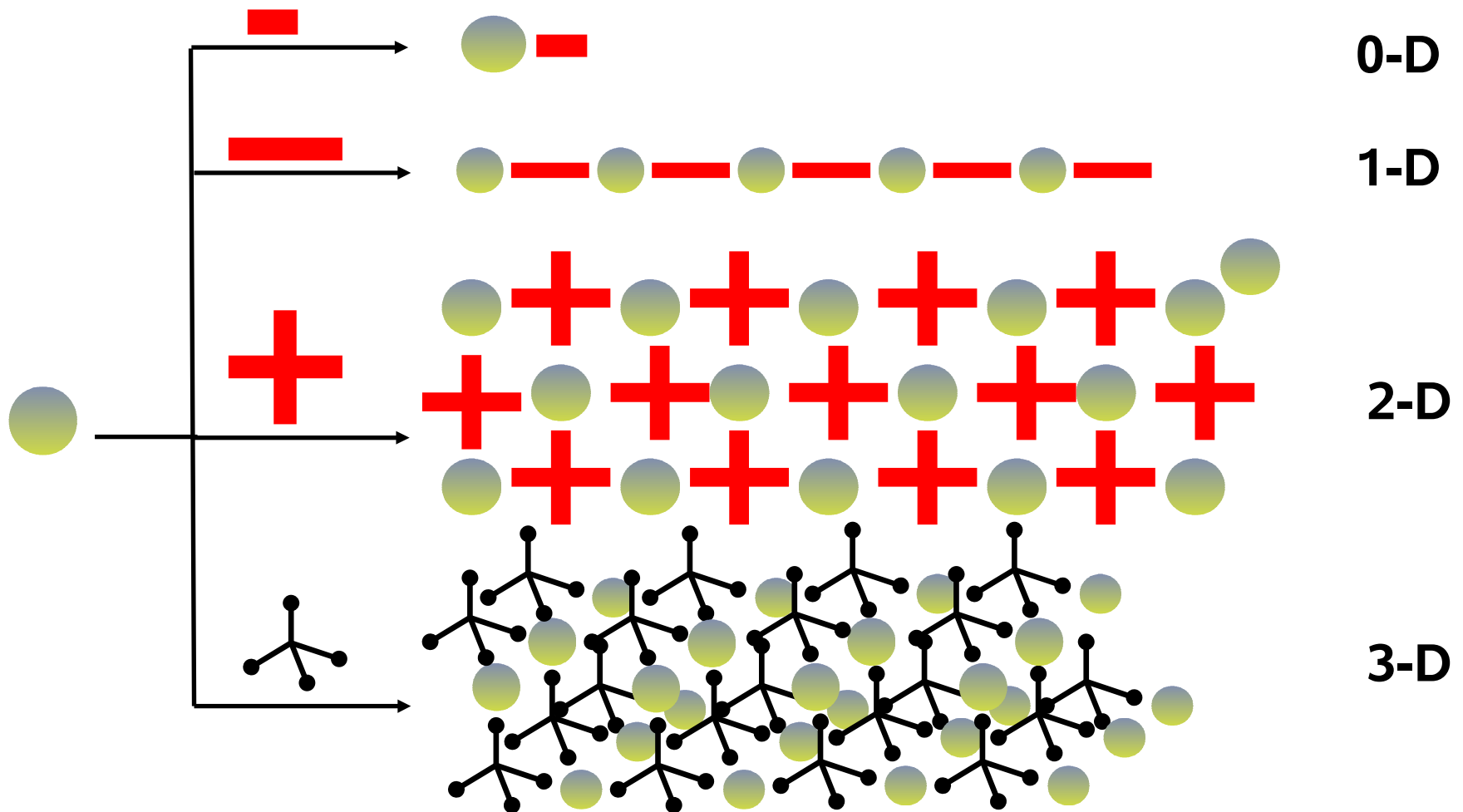
Monocristaux

« De la molécule au matériau »

Briques préformées fonctionnalisées



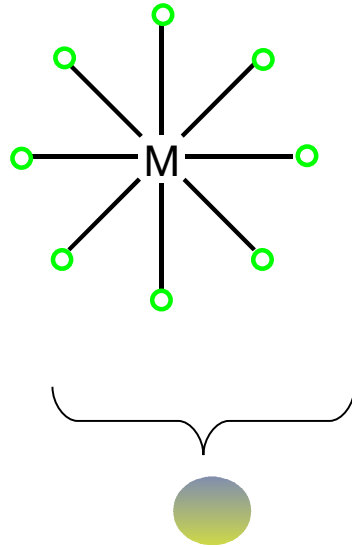
Structure autoassemblée
à propriétés ciblées



Synthèse Rationnelle d'architectures moléculaires

Comment ? La Chimie de Coordination

Brique « Complexe de coordination »



Métaux de transition

Li	Be											Al														
Na	Mg											Ga														
K	Ca	Sc	Ti	V	Cr	Mn	Fe	Co	Ni	Cu	Zn	In	Sn													
Rb	Sr	Y	Zr	Nb	Mo	Tc	Ru	Rh	Pd	Ag	Cd	Tl	Pb	Bi												
Cs	Ba	*	Hf	Ta	W	Re	Os	Ir	Pt	Au	Hg	Uut	Uuq	Uup	Uuh											
Fr	Ra	**	Rf	Db	Sg	Bh	Hs	Mt	Ds	Rg	Uub															
		La	Ce	Pr	Nd	Pm	Sm	Eu	Gd	Tb	Dy	Ho	Er	Tm	Yb	Lu										
		Ac	Th	Pa	U	Np	Pu	Am	Cm	Bk	Cf	Es	Fm	Md	No	Lr										

Paramètres ajustables:

- Degré d'oxydation du centre métallique
- Nature de l'ion métallique (3d, 4d, 4f, 5d...)
- Coordinence (tétra, hexa, octacoordinné...)
- Nature du ligand: mono, bi, tridente...

Auto-assemblage:

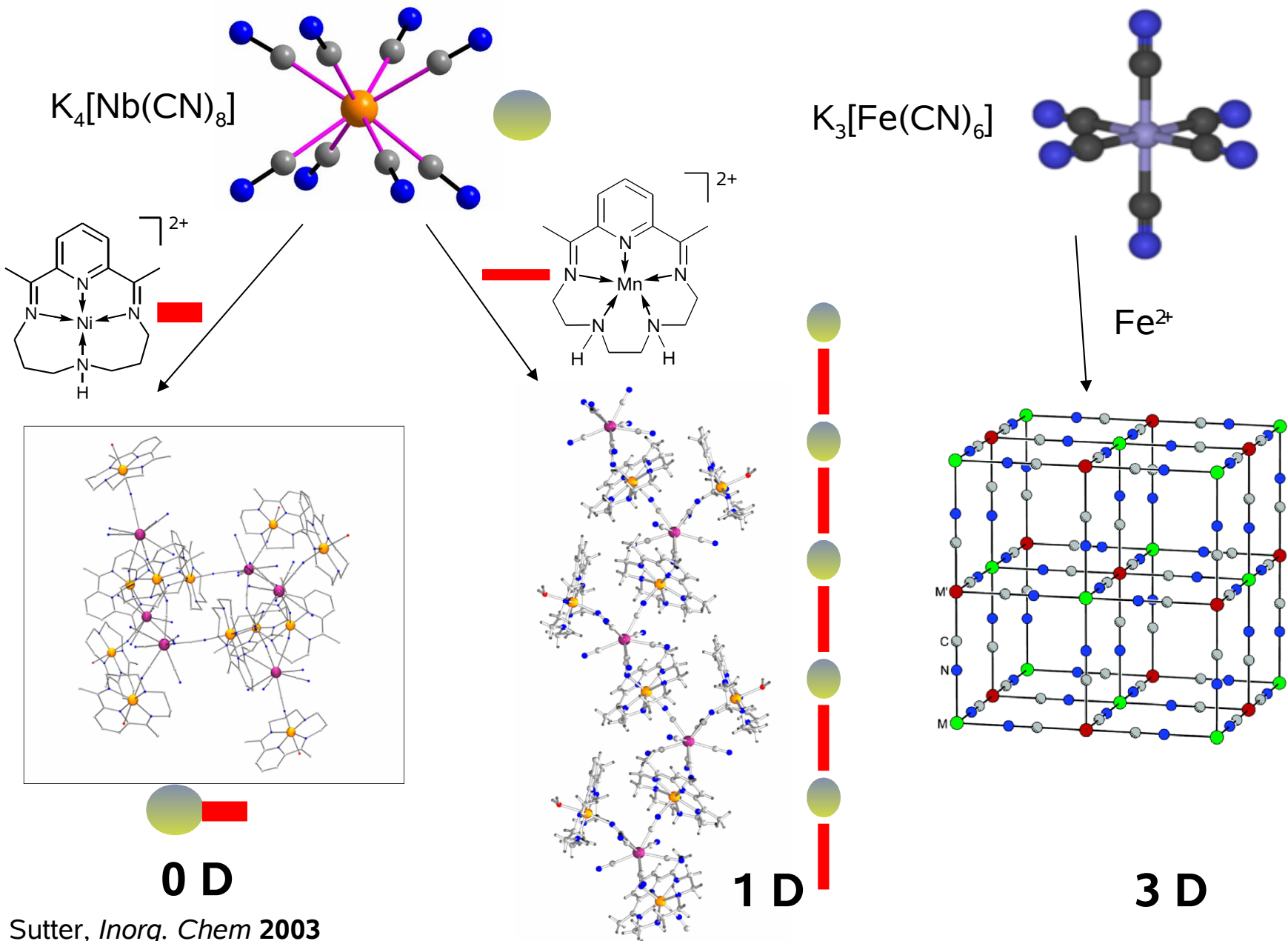


Structure auto-assemblée fonctionnelle

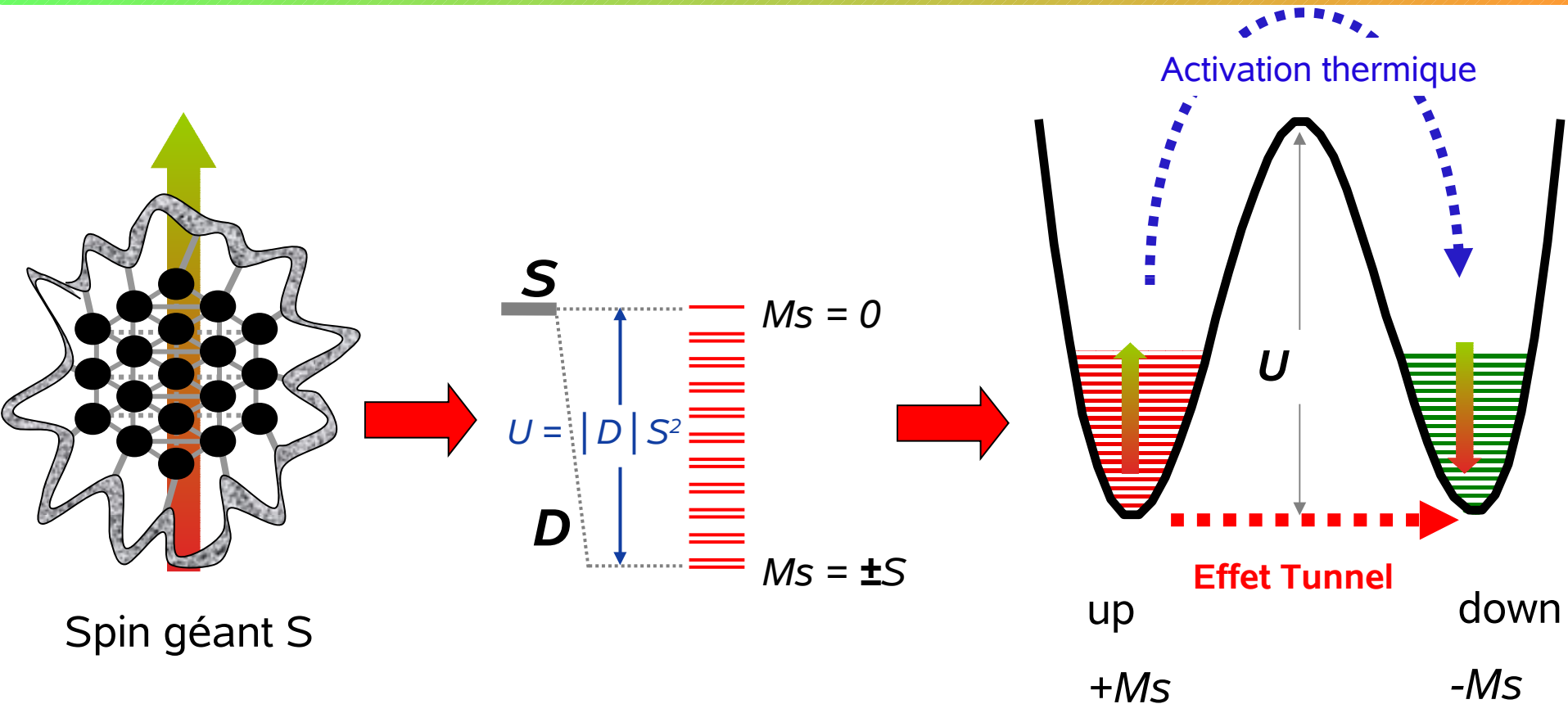
Quelles interactions ?

- Liaison de coordination (fortes)
- Interactions faibles (liaisons hydrogène, interactions π - π ...)

Quelques exemples issus de la chimie des cyanures...



Molécules Aimants



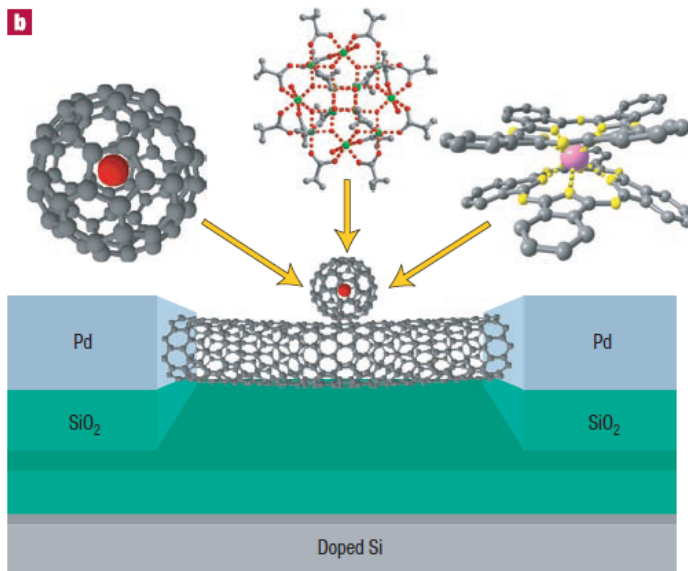
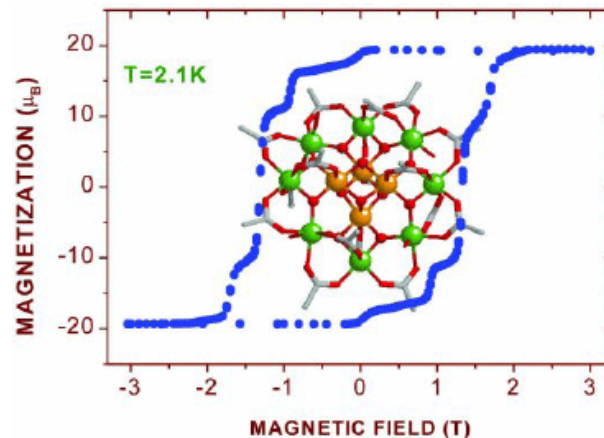
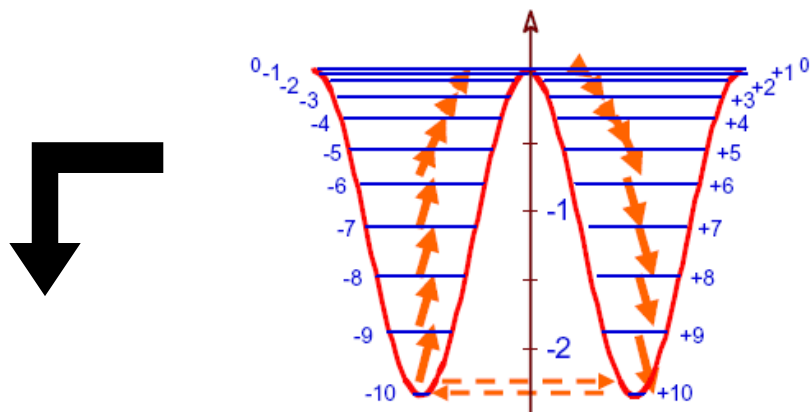
Conditions:

- Fort Moment Magnétique
- Forte anisotropie magnétique axiale

SMM (Single Molecule Magnet) et **SCM** (single Chain Magnet)
[nano aimants et nano fils]

Vers la miniaturisation de la taille des éléments de mémoire...

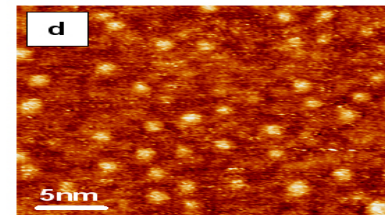
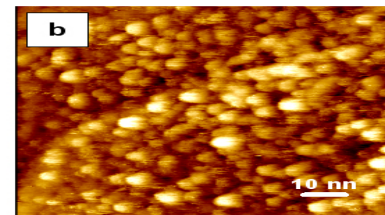
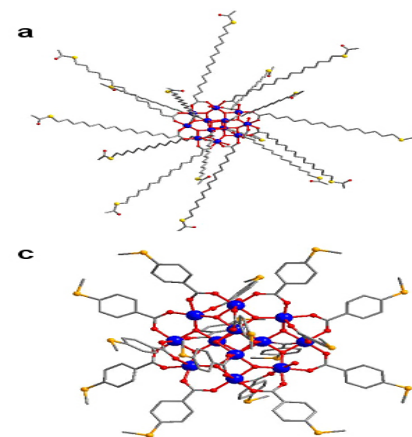
Le cluster Mn_{12}



Spintronique Moléculaire

Wolfgang Wernsdorfer

Groupe Nanospintronique
et Transport Moléculaire



Déposition couches minces

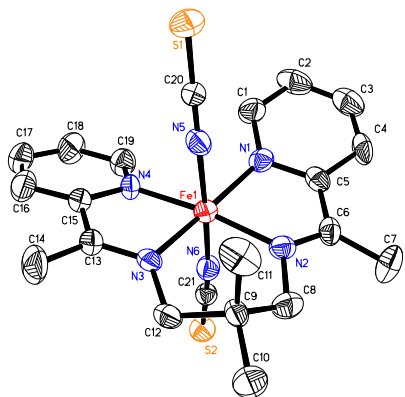
Andrea Cornia



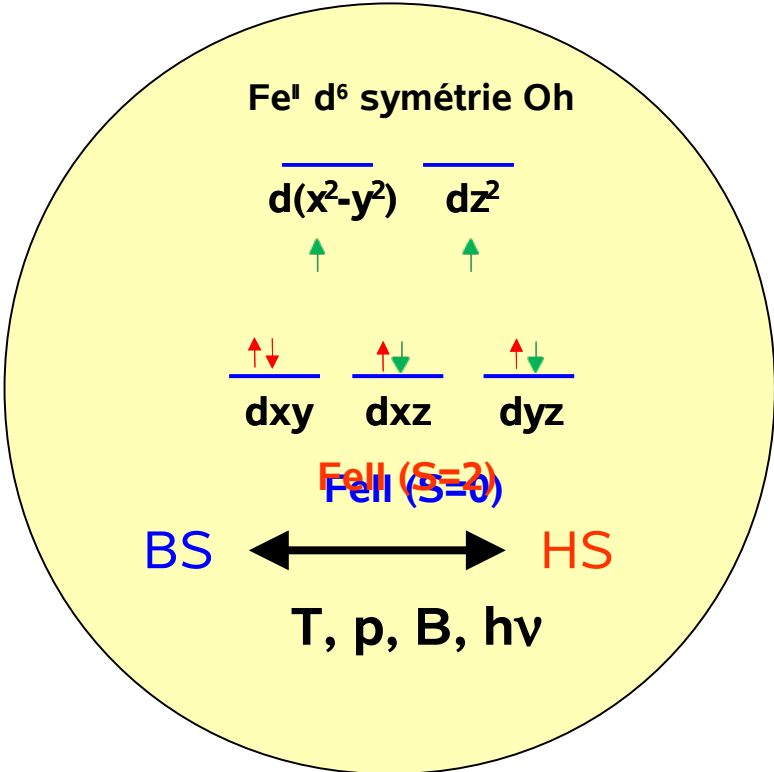
UNIVERSITÀ DEGLI STUDI
DI MODENA E REGGIO EMILIA

2- Les complexes à transition de spin

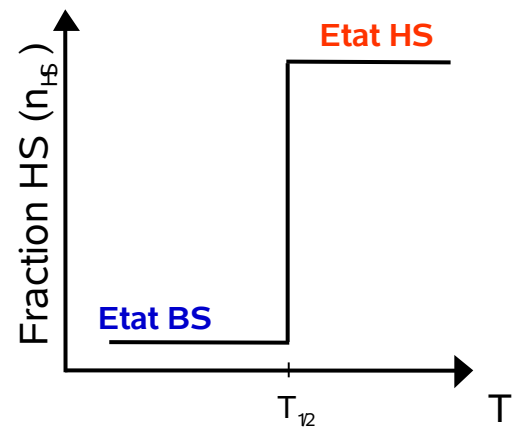
La transition de spin (TS)



Etat diamagnétique (S=0)
 Bas Spin (BS)
 Champ de ligand fort



Etat paramagnétique (S=2)
 Haut Spin (HS)
 Champ de ligand faible

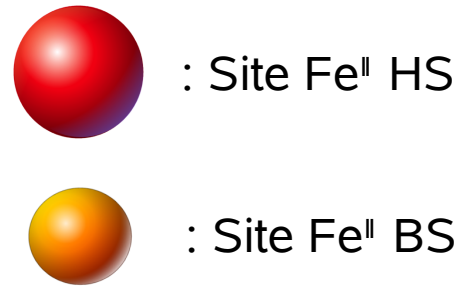
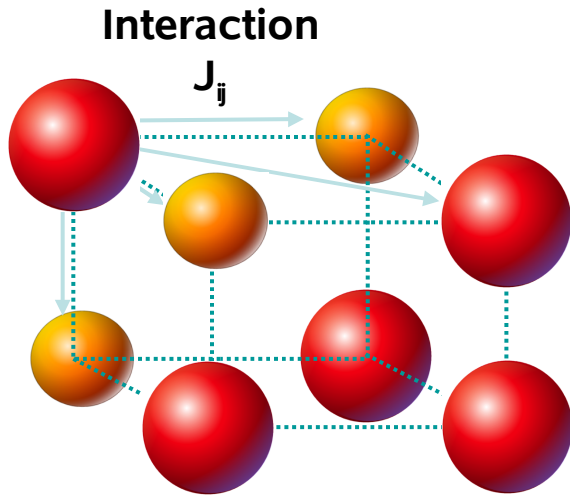


Thermochromisme
 Photochromisme

Magnétochromisme
 Piézo-chromisme

P. Gütllich, A. Hauser, H. Spiering, *Angew. Chem. Int. Ed. Engl.* (1994)
 A. Bousseksou, G. Molnar, G. Matouzenko, *Eur. J. Inorg. Chem.* (2004)

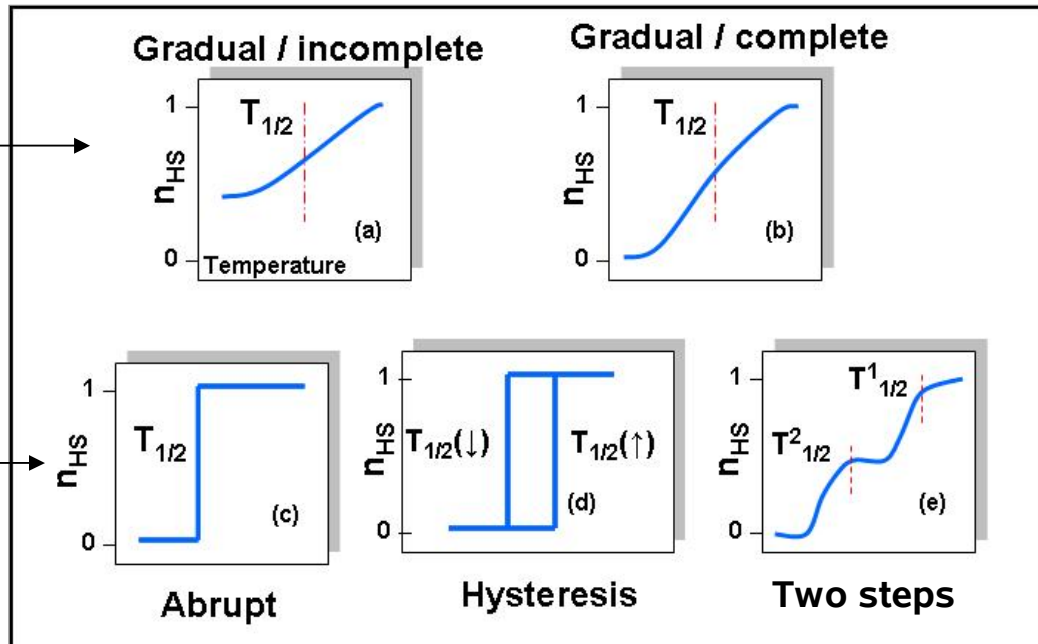
A l'état solide....



(n_{HS} = fraction HS)

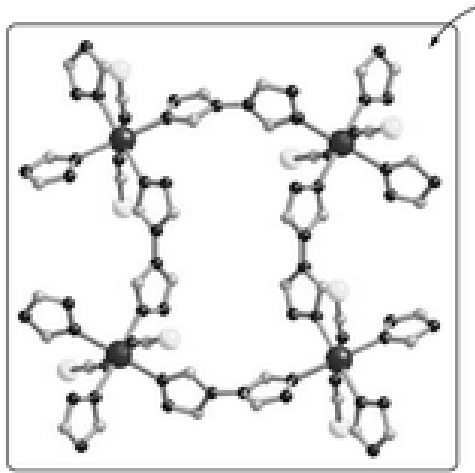
➤ Interactions faibles

➤ Interactions fortes

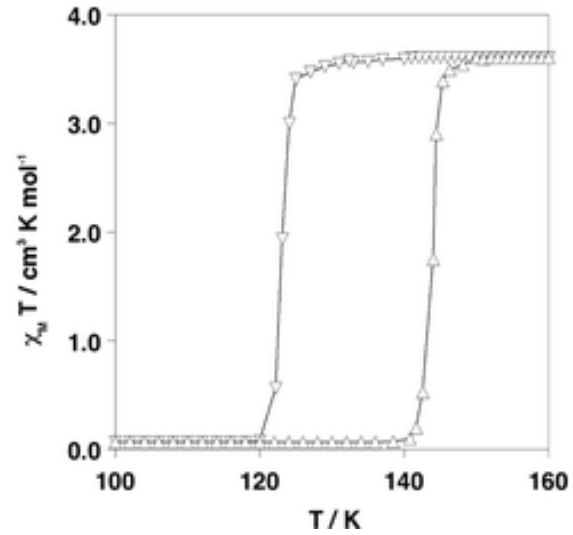


Boucle d'Hysteresis: $\Delta T = T_{12}^{\uparrow} - T_{12}^{\downarrow}$

Thermochromisme / Détection Optique

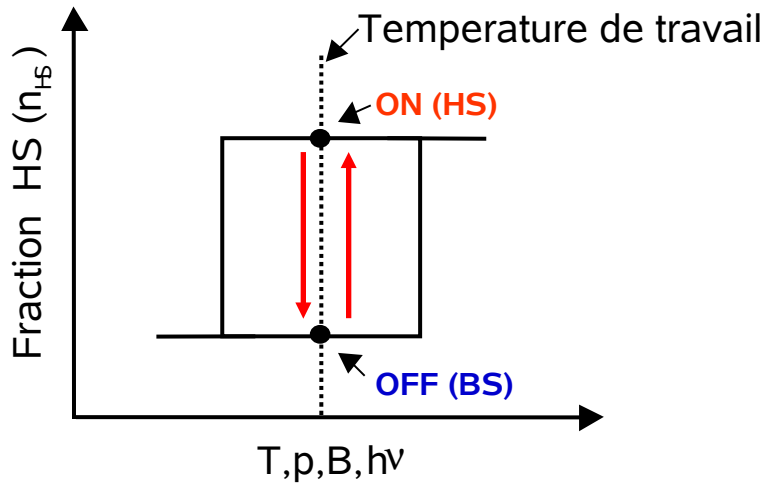


[Fe(btr)₂(NCS)₂].H₂O



Haasnoot et al. *Polyhedron* 1985

Effet mémoire



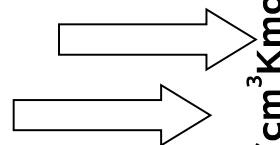
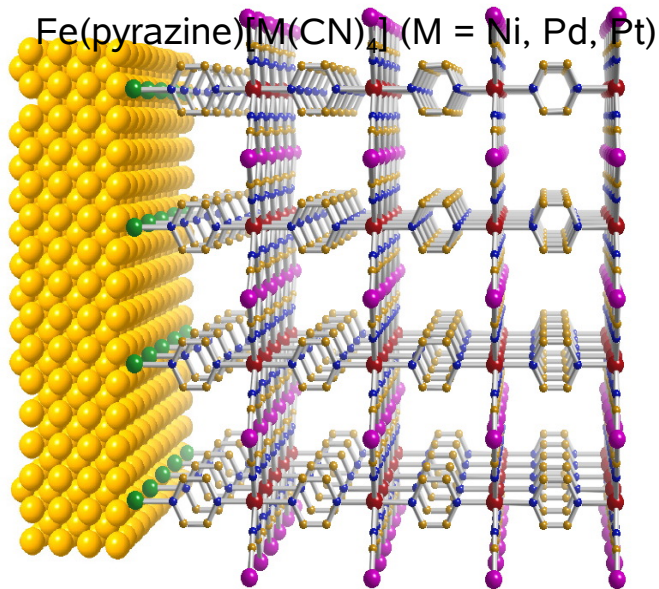
Bistabilité
Moléculaire

=

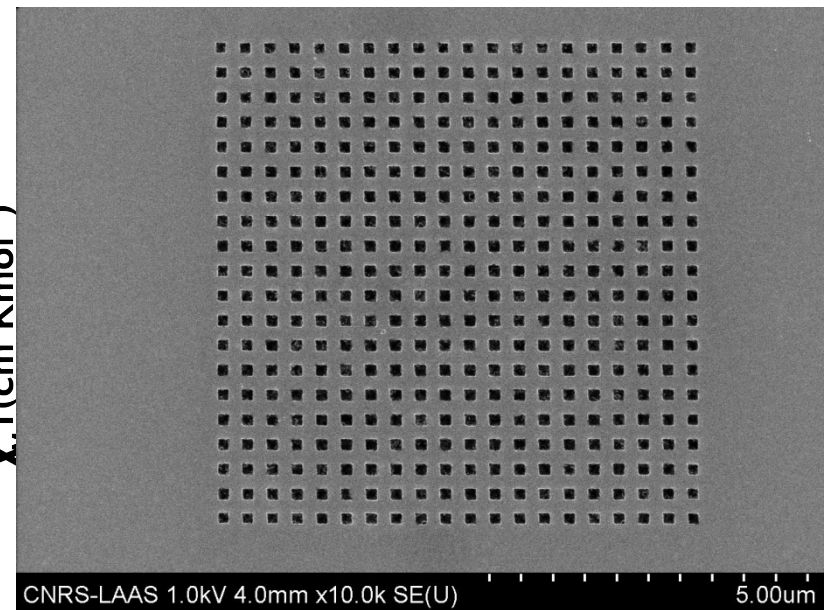
Interrupteur
commutable

Conditions pour applications potentielles :

- $T_{12} \approx 300 \text{ K}$
- $\Delta T = T_{12} \uparrow - T_{12} \downarrow > (30 \text{ K})$



$\chi \cdot T (\text{cm}^3 \text{Kmol}^{-1})$



Température (K)

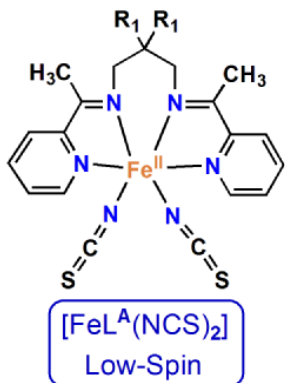
S. Cobo et al. *Angew. Chem.* (2006)

V. Melnikar et al. *Chem. Commun.* (2007)

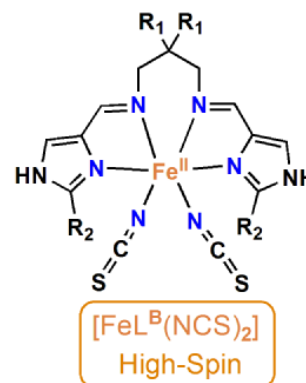
Synthèse Rationnelle de complexes à TS

Complexe cible: ligand tetradente + 2 anions pseudohalogénures NCX⁻

Ligand **Bis-pyridine**
Champ fort
→ Complexe **BS**



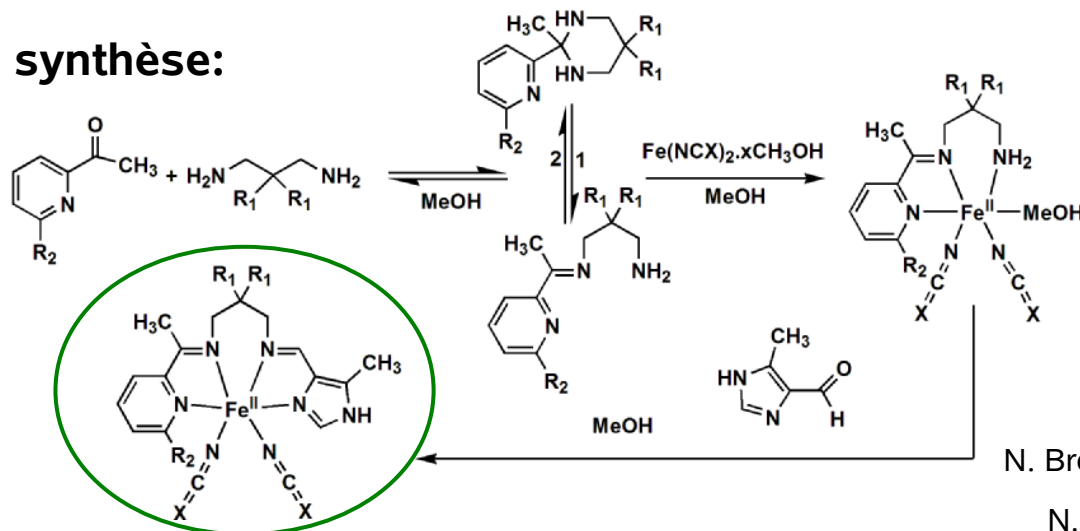
Ligand **Bis-imidazole**
Champ faible
→ Complexe **HS**



?

Un **Ligand Tetradente Asymétrique** peut-il générer une TS ?

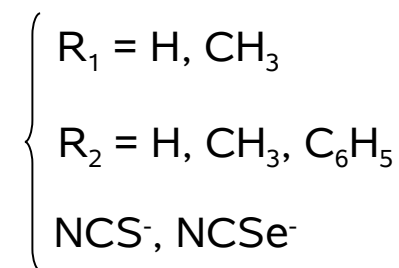
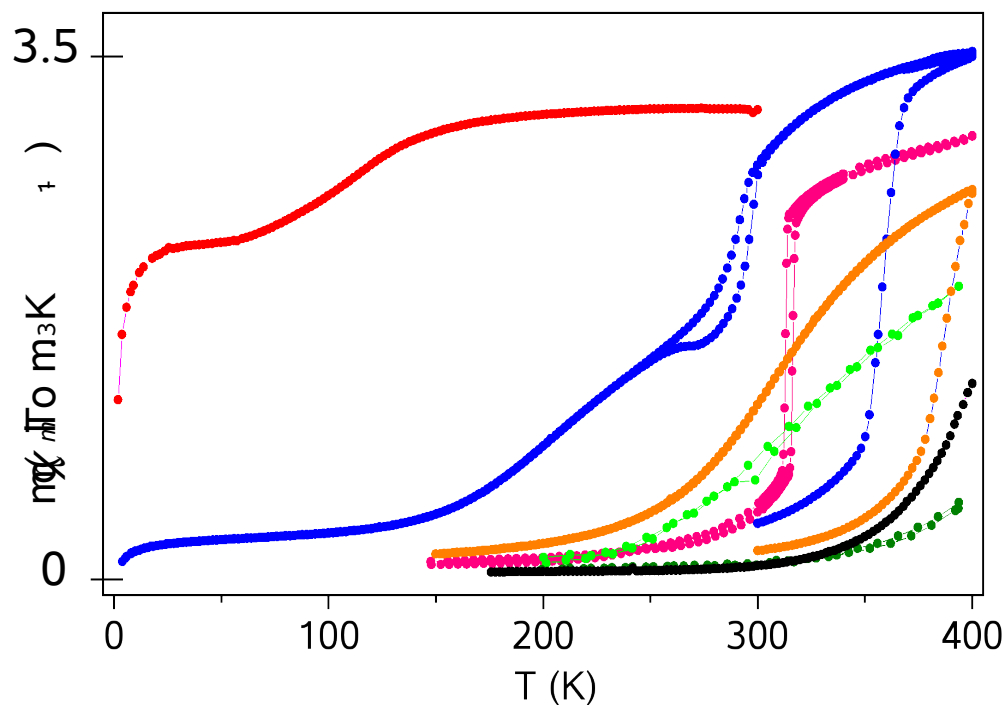
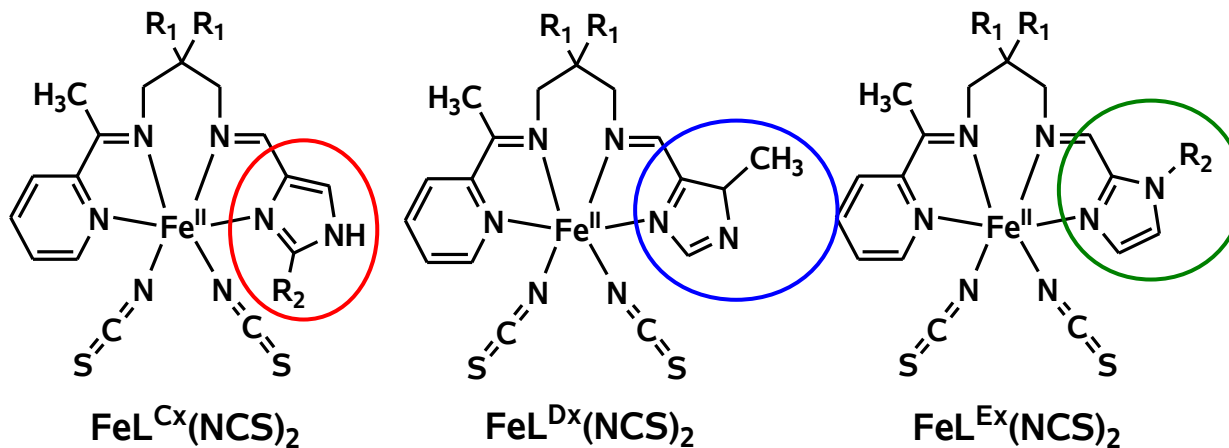
Stratégie de synthèse:



N. Bréfuel et al., *Chem Comm.* (2007)

N. Bréfuel et al. *Polyhedron* (2007)

Propriétés Magnétiques de la famille $[FeL(NCS)_2]$

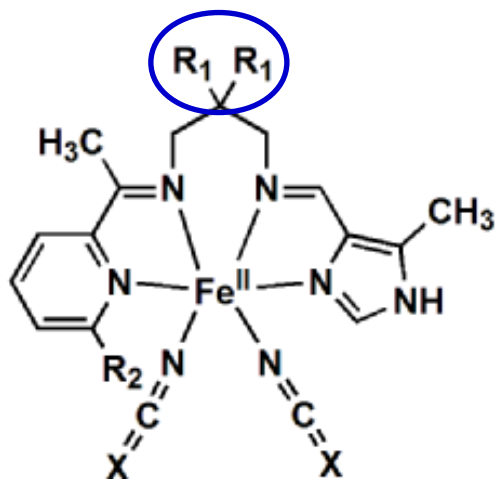


Modulation du champ de ligand
(nature et position des substituants)

N. Bréfuel et al., *Chem Mat.* (2006)

N. Bréfuel et al., *Eur. J Inorg. Chem.* (2007)

Propriétés Magnétiques de $[FeL^{D^2}(NCS)_2] \cdot H_2O$ ($R_1 = H$) (1)



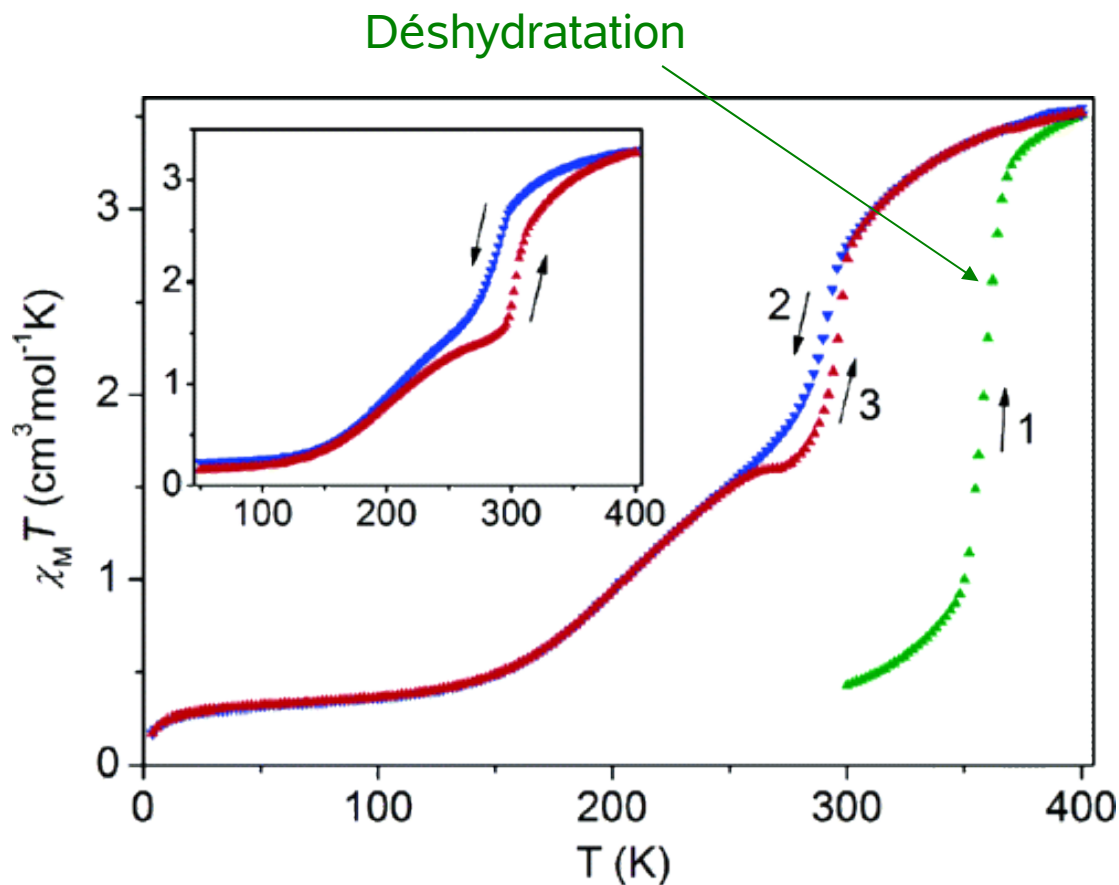
1^{ère} étape:

$$T_{1/2} = 202 \text{ K}$$

2^{ème} étape:

Hystérésis $T_{1/2} \uparrow = 304 \text{ K}$,

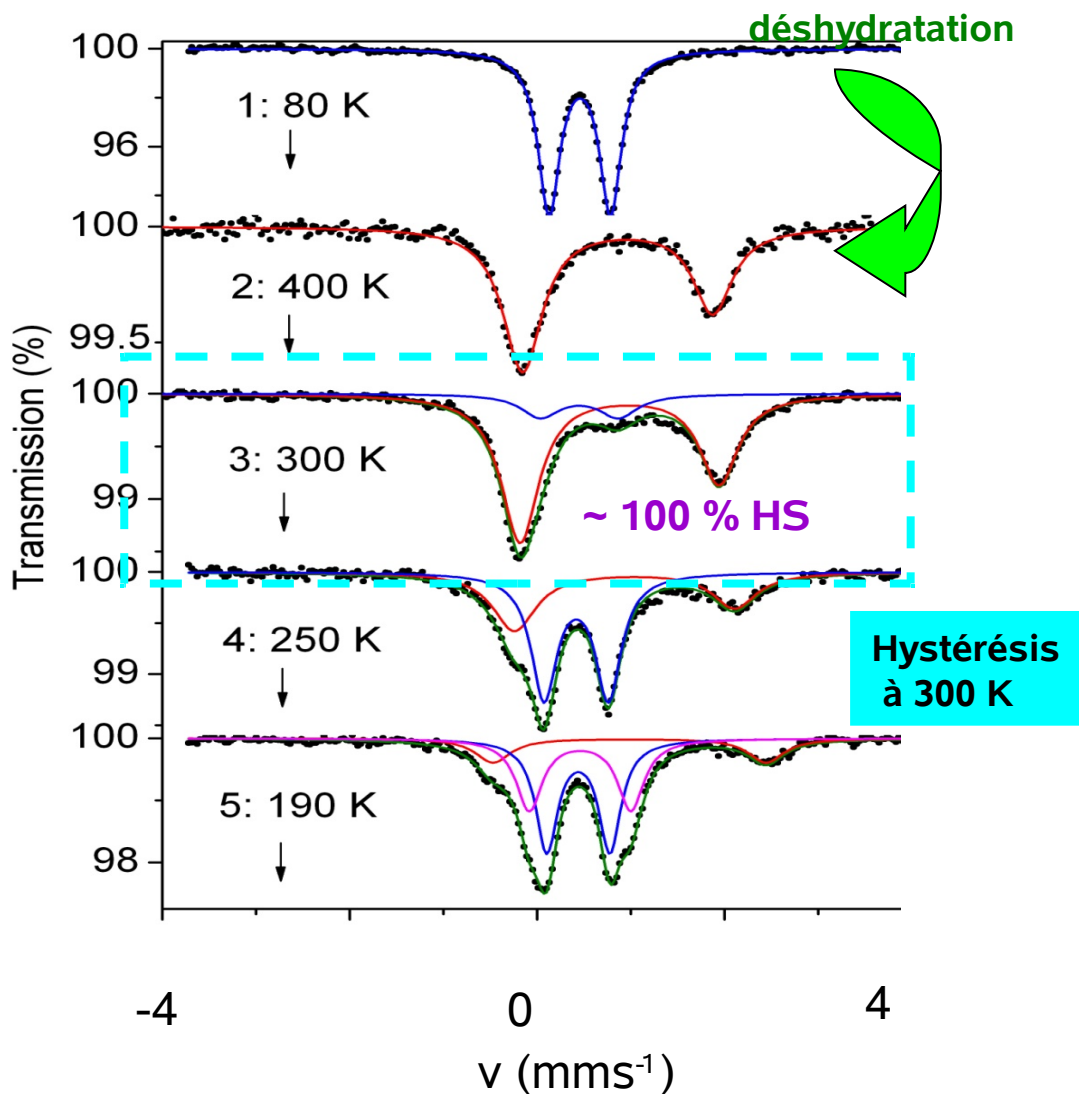
$$T_{1/2} \downarrow = 293 \text{ K}$$



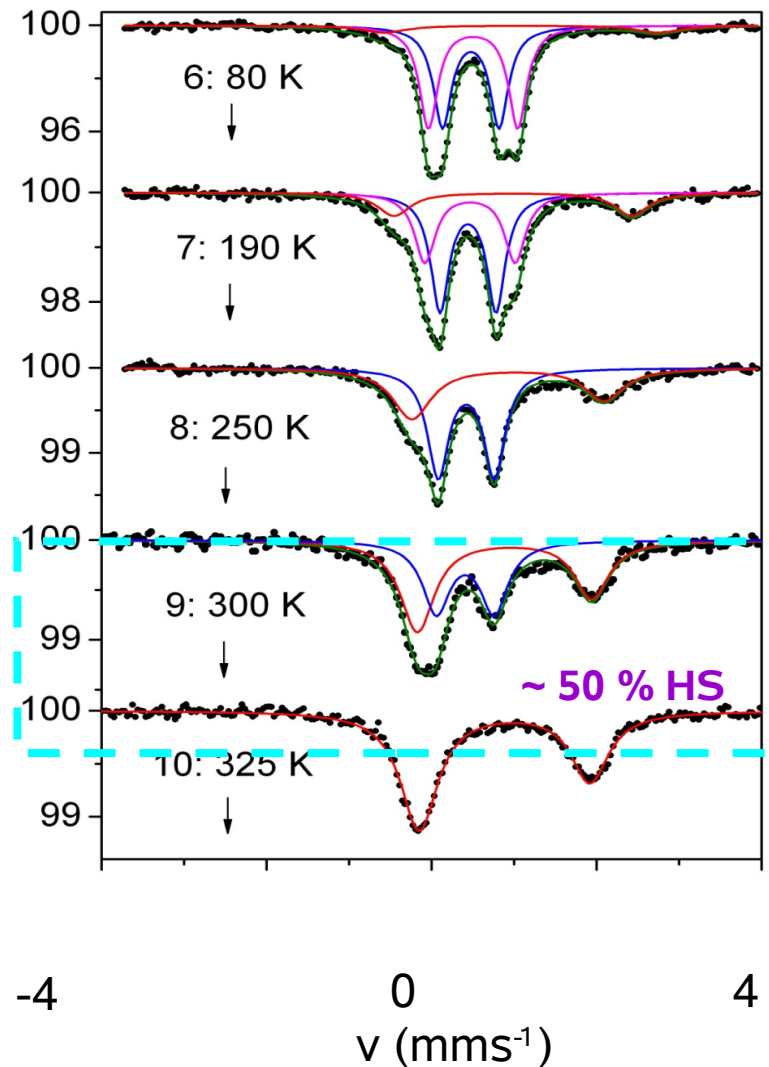
- Transition en **deux étapes** (espèce déshydratée)
- 2^{ème} étape avec **hystérésis** (11 K) at ~ 300 K
- **Deux sites Fe^I distinguables ?**

Spectres Mössbauer de $[FeL^D(NCS)_2] \cdot H_2O$ (1)

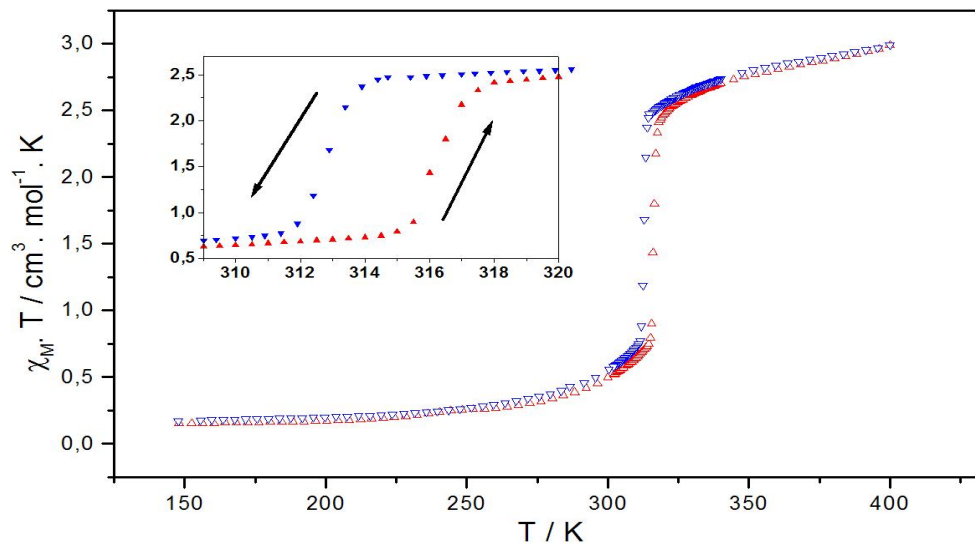
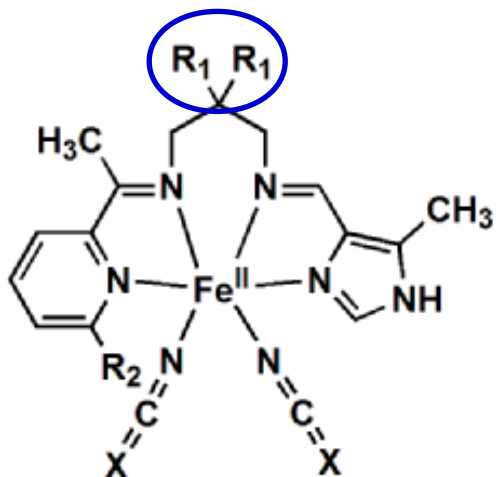
Complexe hydraté : un site Fe^{II} unique



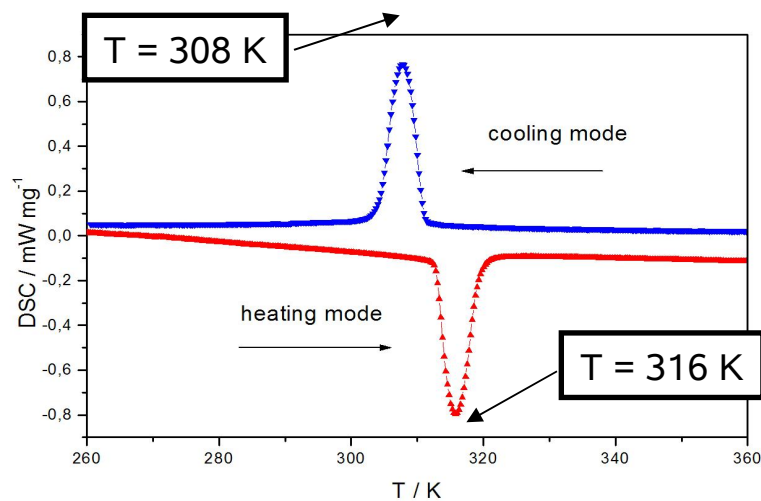
Complexe Déshydraté : 2 sites Fe^{II}



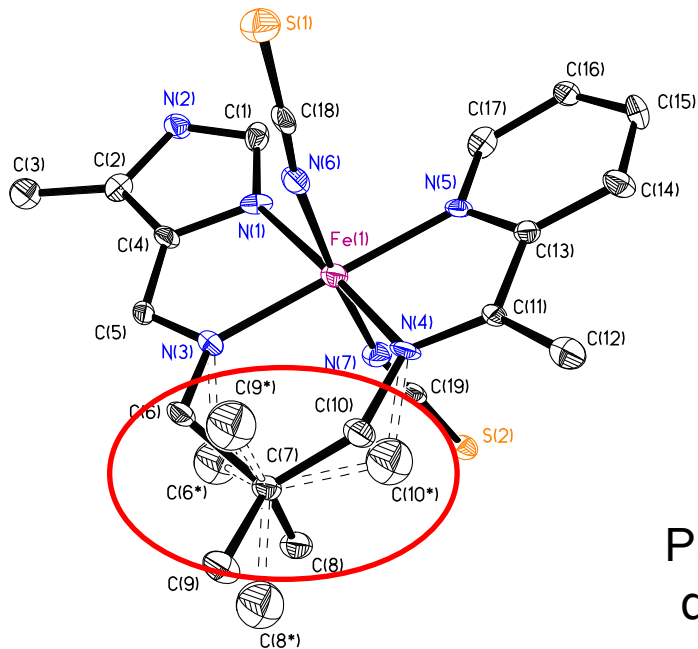
Propriétés Magnétique de $[FeL^{DI} (NCS)_2]$ ($R_1 = CH_3$) (2)



- TS du 1^{er} ordre, $T_{1/2} = 315$ K
- Boucle d'hystérésis de 4K
- Transition de phase structurale ?



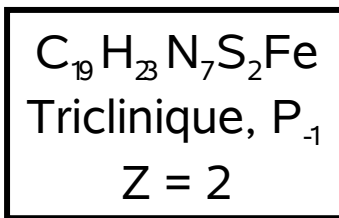
Structure Moléculaire de $[FeL^D(NCS)_2]$ (2)



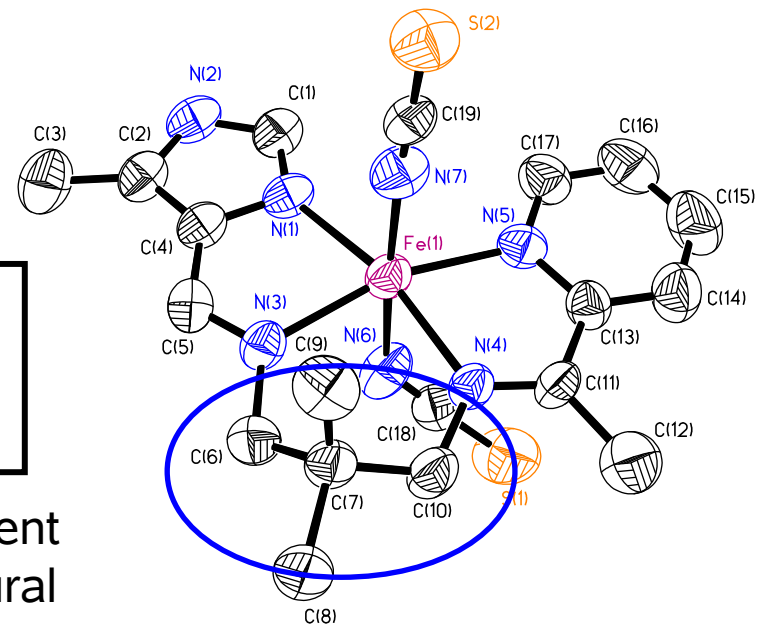
T = 300 K (BS)

Deux positions statistiques
du fragment C₆-C₇-C₁₀

Fe(1)-N(6)	1.933(6)
Fe(1)-N(7)	1.936(6)
Fe(1)-N(4)	1.958(4)
Fe(1)-N(3)	1.957(5)
Fe(1)-N(5)	1.965(4)
Fe(1)-N(1)	2.046(4)



Pas de changement
de phase structural



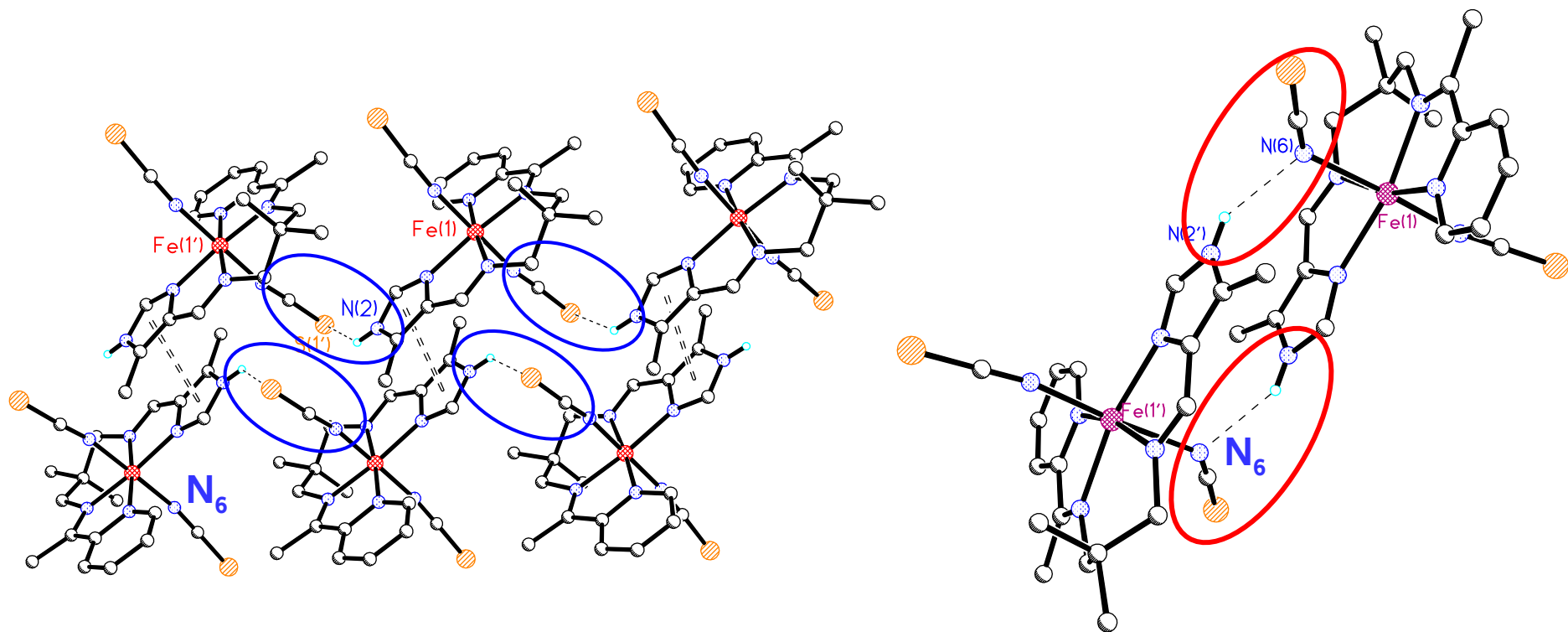
T = 350 K (HS)

Fragment C₆-C₇-C₁₀
désordonné

$\Delta d/d = 6 \text{ à } 22 \% !!$

Fe(1)-N(6)	2.370(5)
Fe(1)-N(7)	2.082(5)
Fe(1)-N(4)	2.147(3)
Fe(1)-N(3)	2.116(4)
Fe(1)-N(5)	2.124(4)
Fe(1)-N(1)	2.177(4)

Structure Supramoléculaire de $[FeL^{DI} (NCS)_2]$ (2)



300 K

Contacts **NCS...HN** (imidazole)



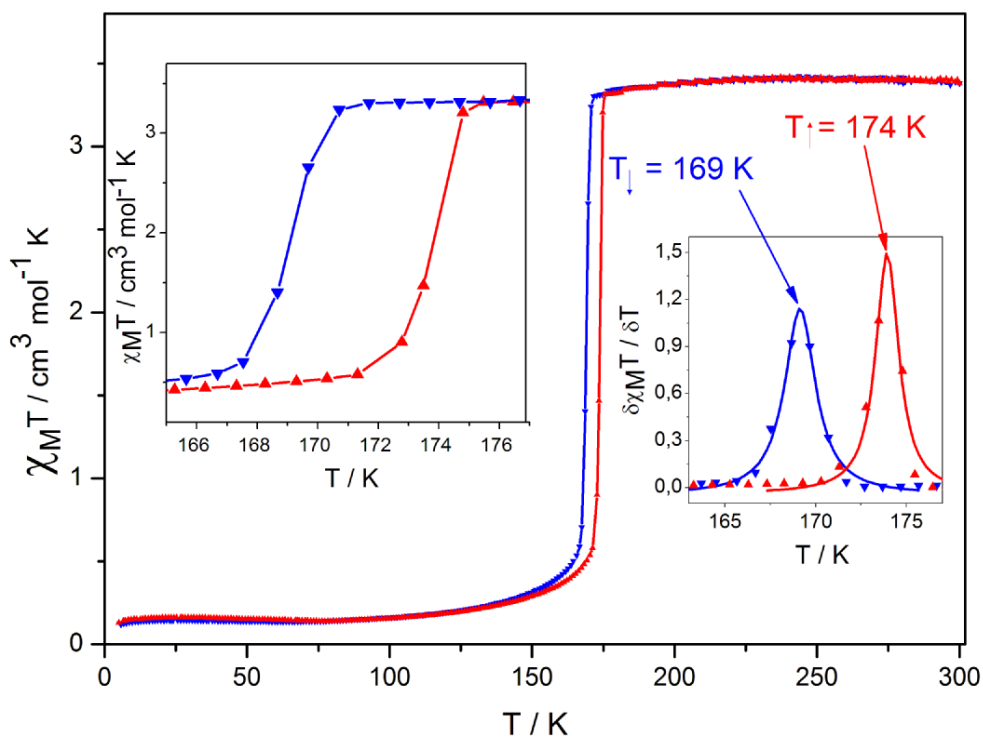
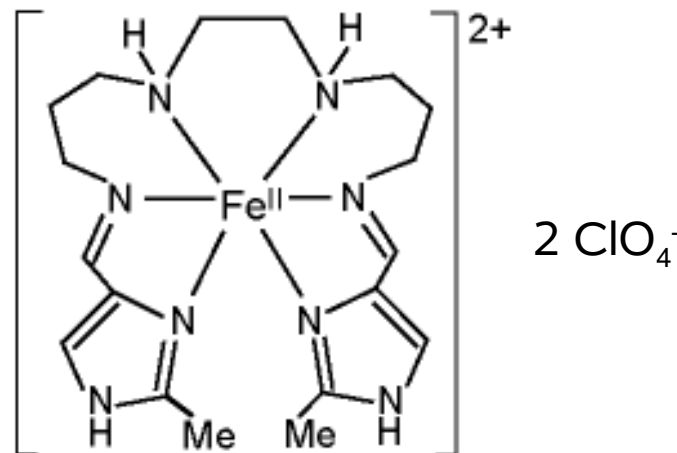
350 K

Contacts **SCN...HN** (imidazole)

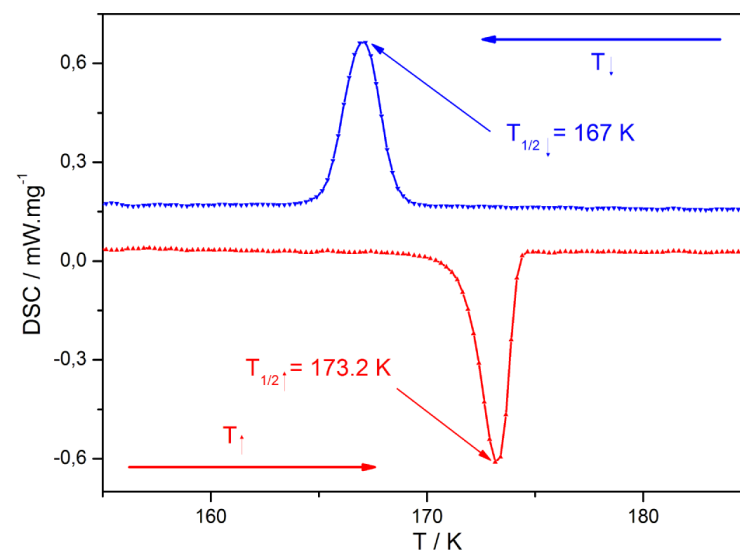


Réarrangement du réseau de liaisons hydrogène

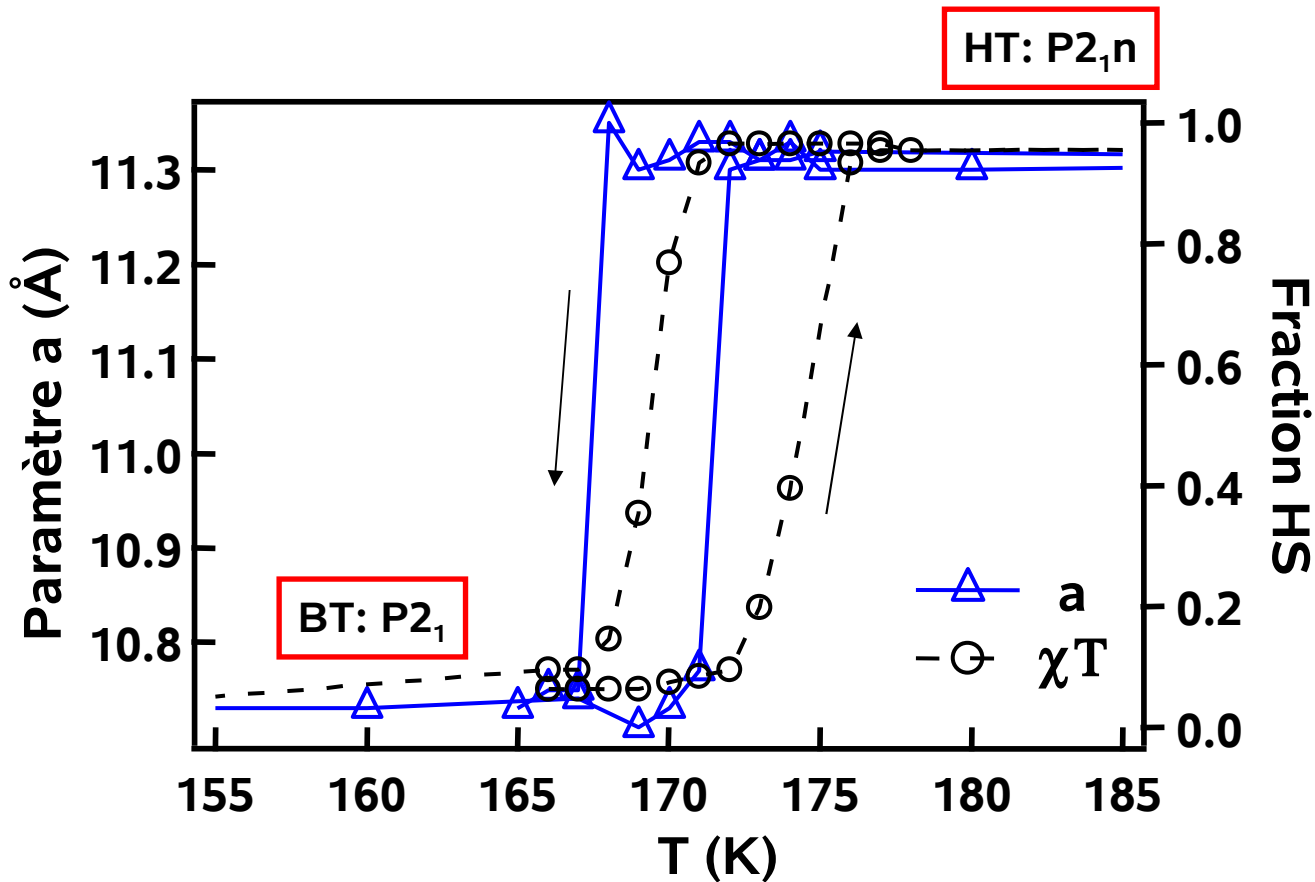
Systemes supramoléculaires: effet du contre-anion



- Transition du 1^{er} ordre ($T_{1/2} = 171 \text{ K}$, hystérésis de 5 K)
- Transition phase structurale ?



Variation du paramètre de maille a de $[\text{FeH}_2\text{L}^{2\text{Me}}](\text{ClO}_4)_2$ (3)



Tâche de Bragg
(2,0,3)

BT

HT

168K

Séparation de Phase

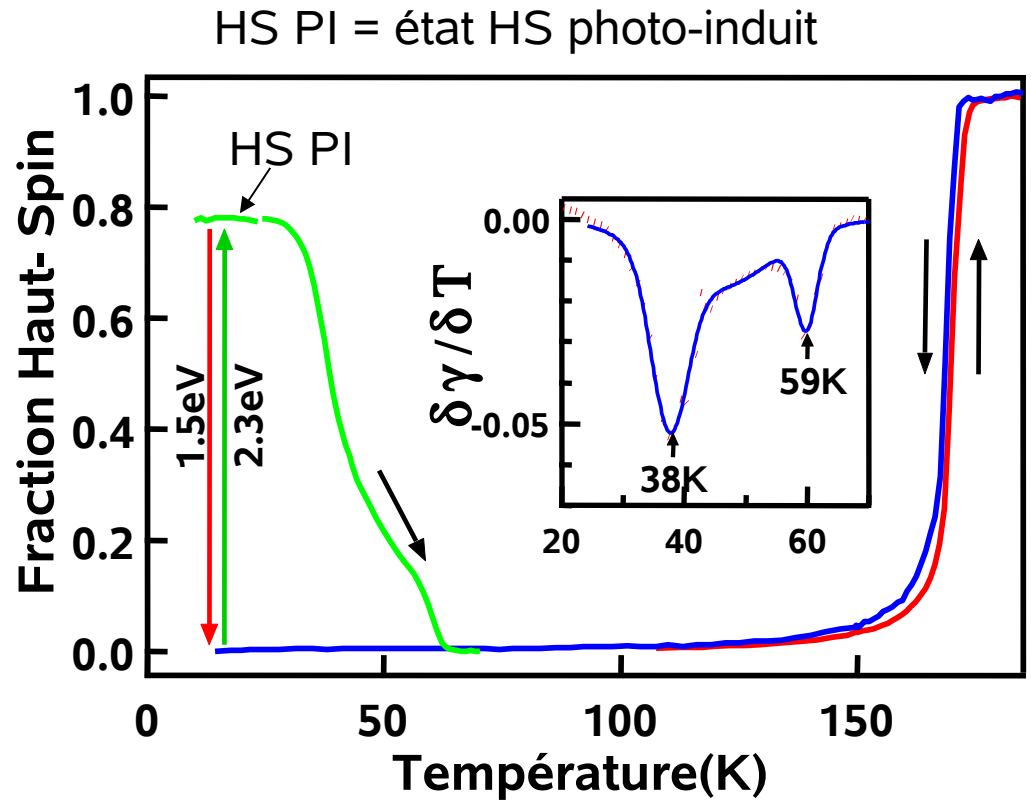
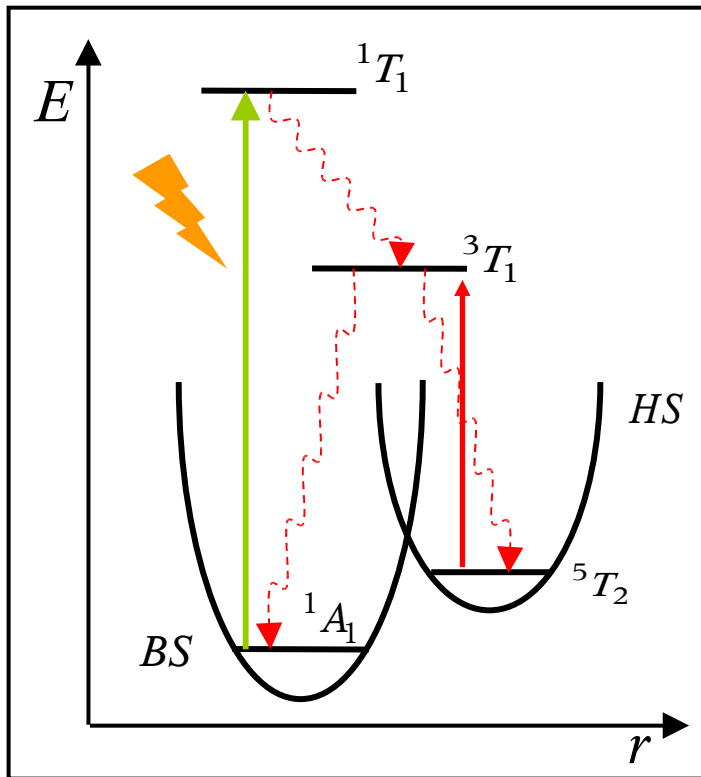
Précision du
jet Cryostat He
: ± 0.1 K

Maille : $T_{12\downarrow} = 168\text{K}$, $T_{12\uparrow} = 171\text{K}$ (abrupte)

Spin : $T_{12\downarrow} = 169\text{K}$, $T_{12\uparrow} = 174\text{K}$ (+ graduelle)

Variation brutale du paramètre de maille avec hystérésis (séparation de phase)
Transitions de phase magnétique/structurale du 1^{er} ordre

Effet LIESST pour $\text{Fe}[\text{H}_2\text{L}^{2\text{Me}}](\text{ClO}_4)_2$ (3)



- Effet **LIESST** (quasi quantitatif) et **reverse LIESST** observés
- Relaxation du PIHS vers l'état BS en deux étapes (38K et 59K)

Origine d'un tel processus ?

Photocrystallographie de $[\text{FeH}_2\text{L}^{2\text{Me}}](\text{ClO}_4)_2$ (**3**)

HS PI



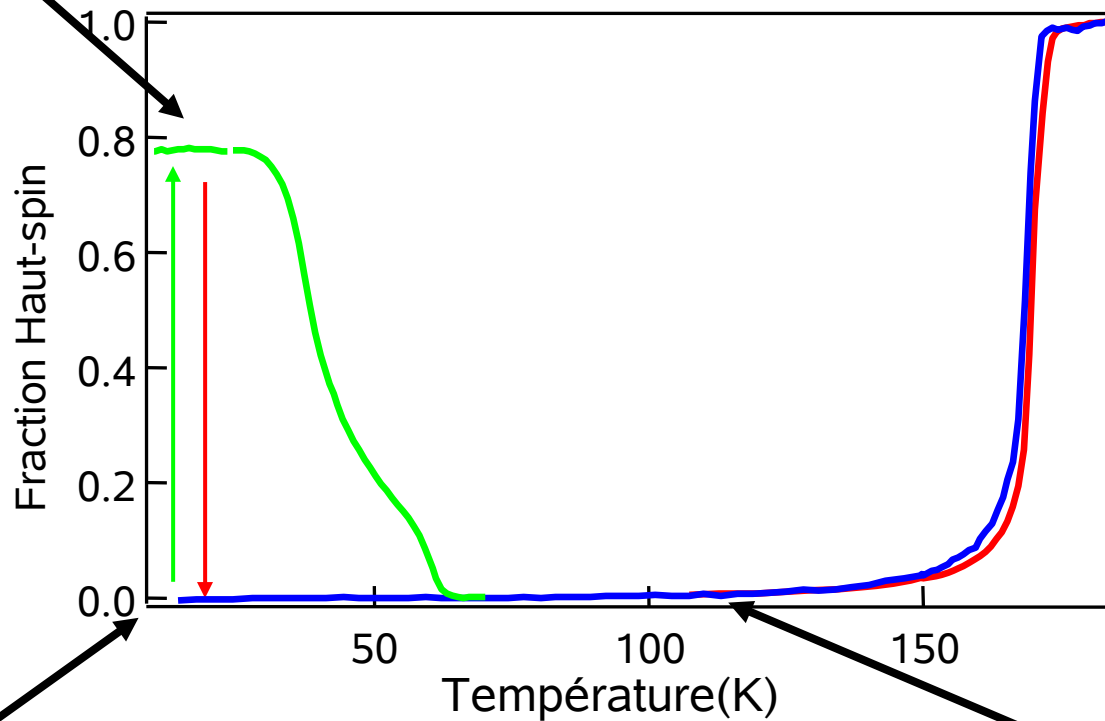
HS (180K)



$\langle \text{Fe-N} \rangle = 2.211 \text{ \AA}$

$\langle \text{Fe-N} \rangle = 2.204 \text{ \AA}$

532nm
irradiation
808nm

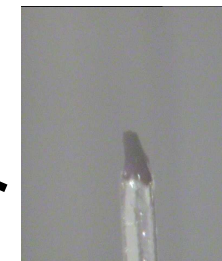


Température

BS PI



BS (110K)



$\langle \text{Fe-N} \rangle = 2.022 \text{ \AA}$

$\langle \text{Fe-N} \rangle = 2.004 \text{ \AA}$

Evolution de l'état PIHS en $f(T)$

rouge foncé



2.3eV
1.5eV

jaune



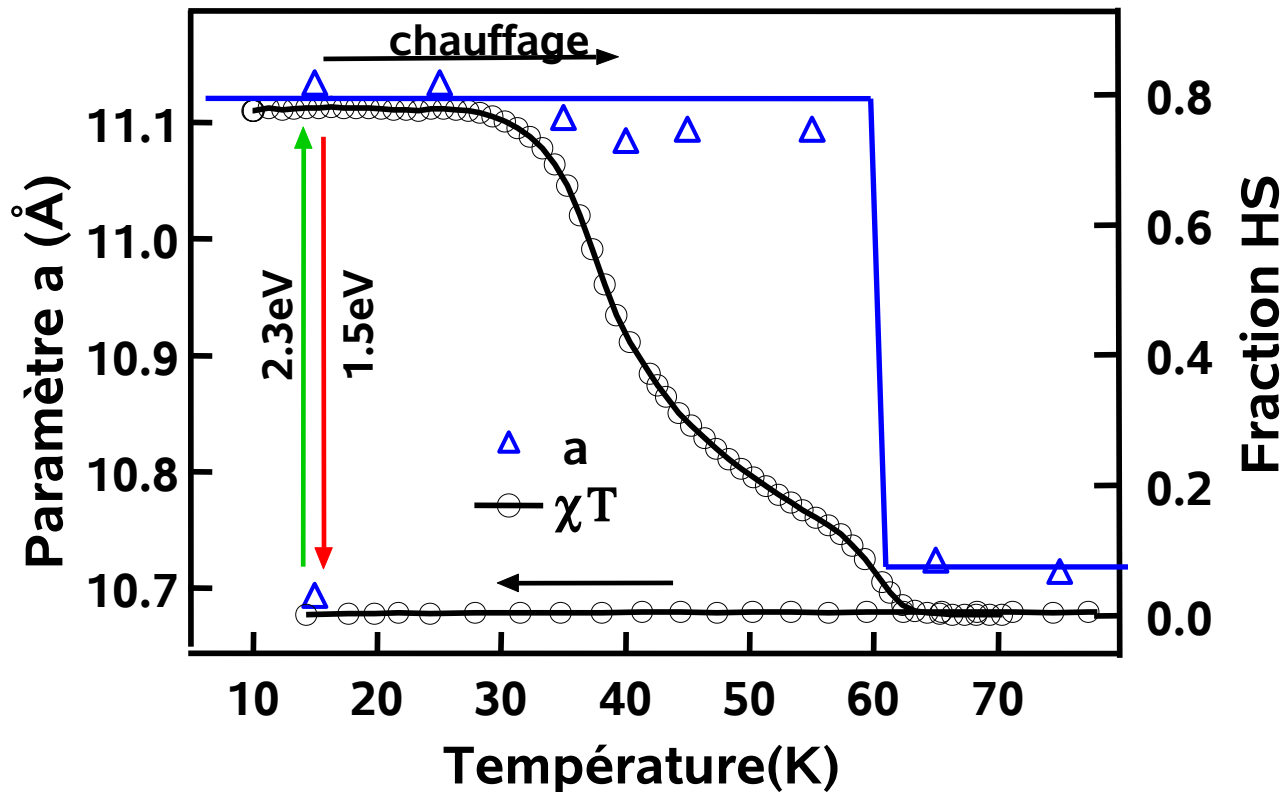
chauffage

orange

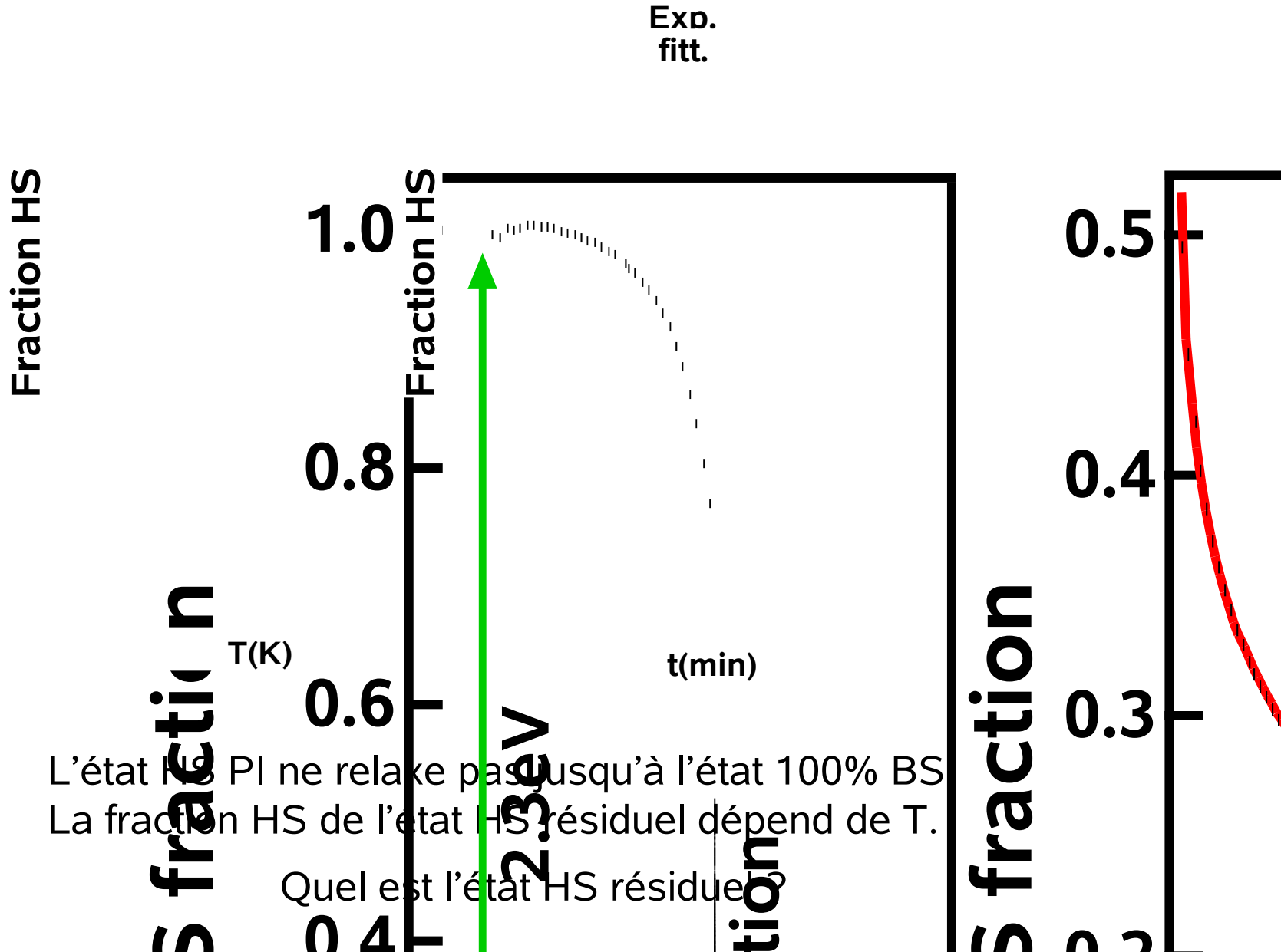


chauffage

rouge foncé

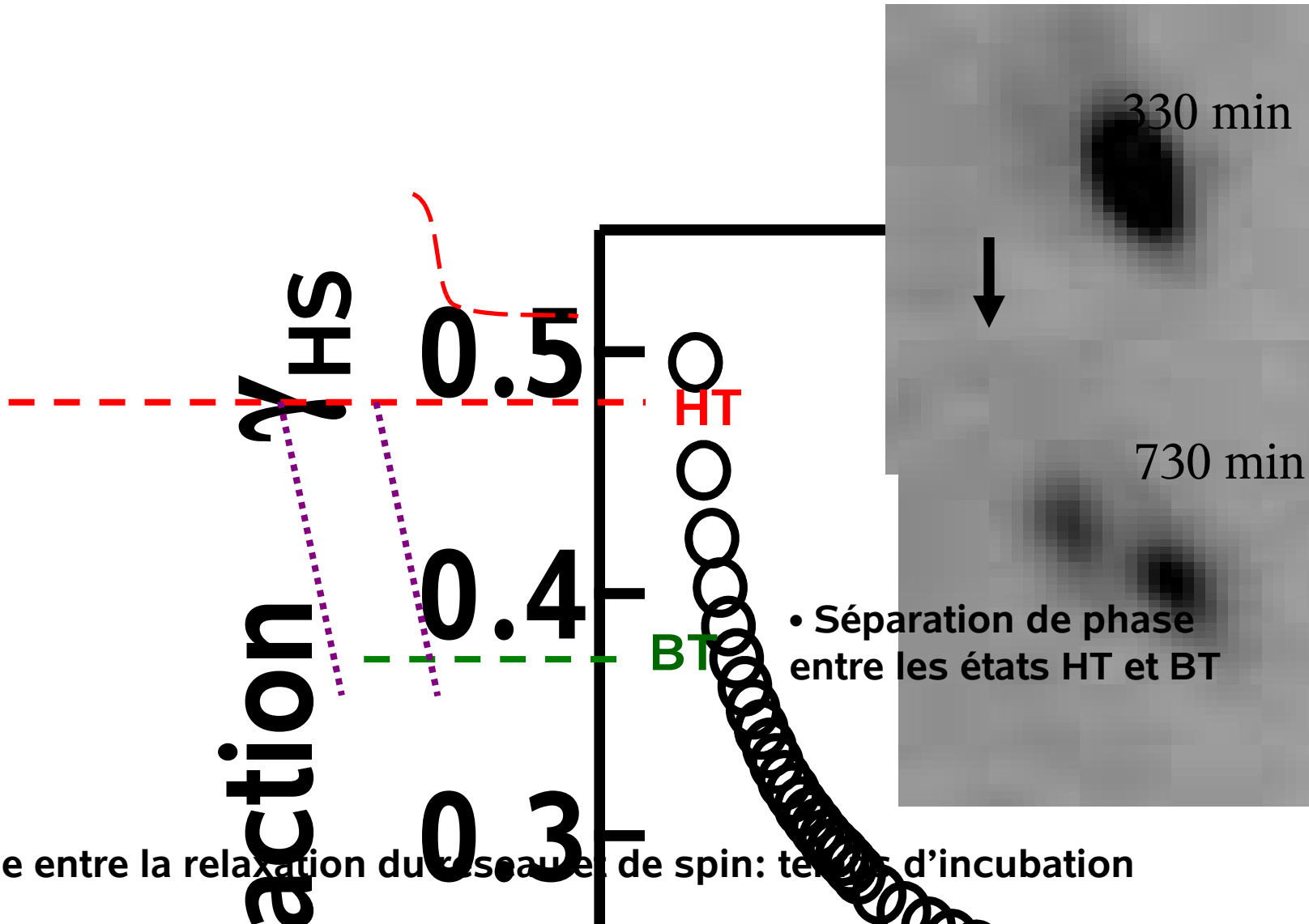


Relaxation de l'état HS PI



Evolution du paramètre a en $f(t)$ à 45K

Tâche de Bragg (-7,0,3)



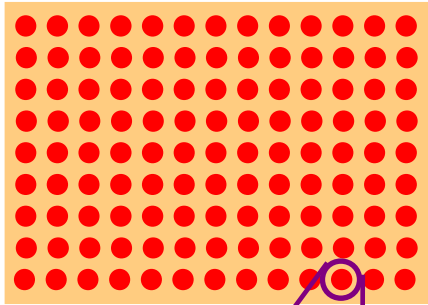
- Décalage entre la relaxation du réseau et de spin: temps d'incubation

En résumé...

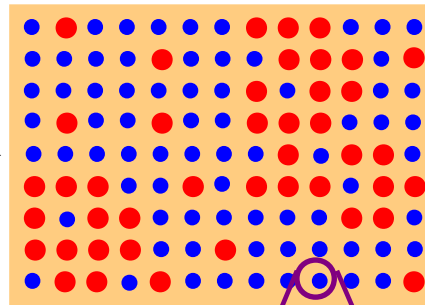
Au niveau du cristal macroscopique:

● : HS ■ : réseau HT
● : BS ■ : réseau BT

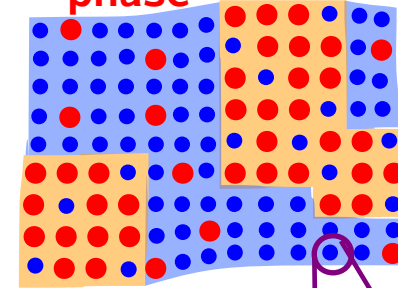
État HS Photo induit



Etat HS Résiduel

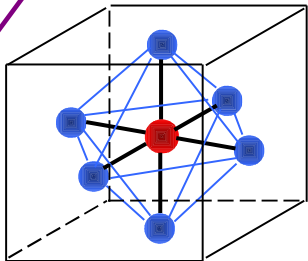


Séparation de phase

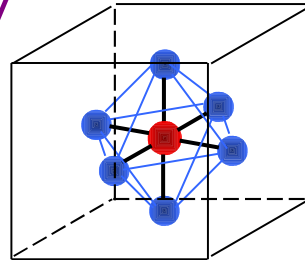


Etat 100% BS

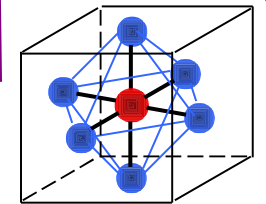
Au niveau de la maille:



Changement de Spin



Changement de réseau



HS : réseau HT

BS : réseau HT

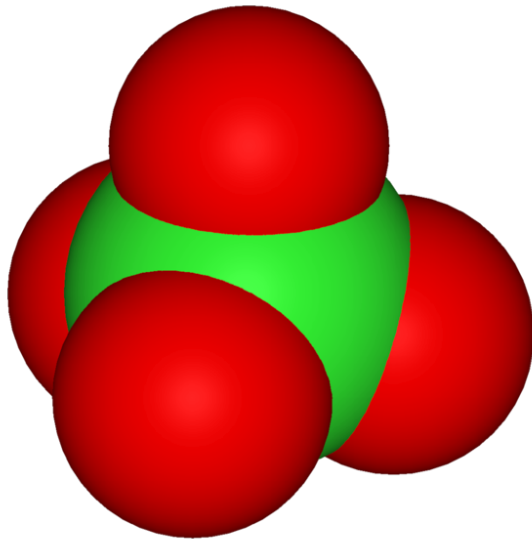
BS : réseau BT

Effet du changement du contre-anion

Anion Perchlorate



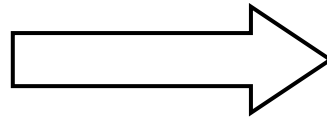
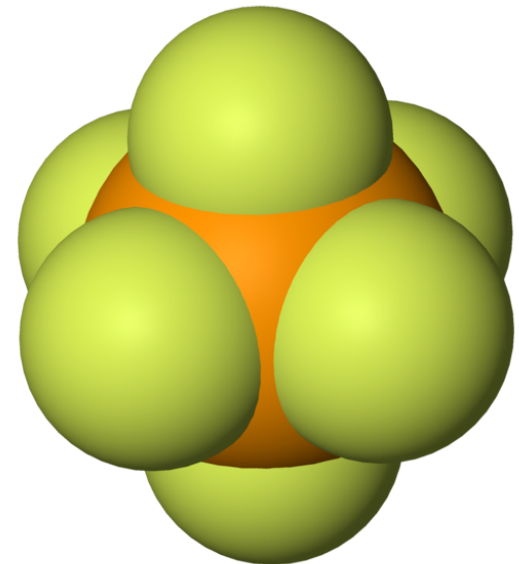
- Monoanionique
- Tetrahédrique



Anion Hexafluorophosphate



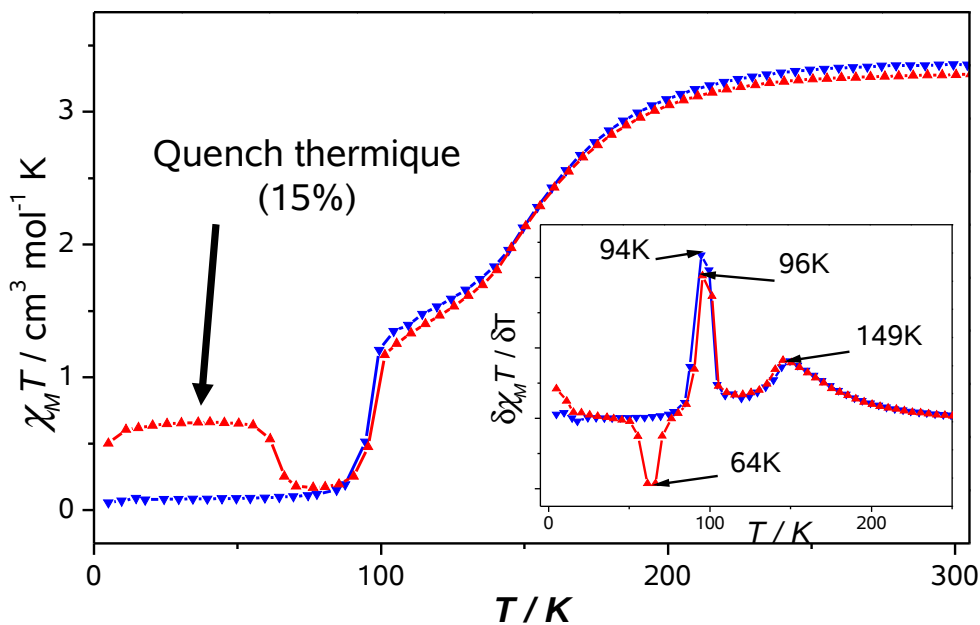
- Monoanionique
- Octahédrique



★ Effets géométriques sur le réseau de liaisons H: conséquences sur la TS ?

★ Remplacer PF_6^- par AsF_6^- ou SbF_6^- : effet de taille sur la TS ?

Etudes magnétiques et Mössbauer de $[FeH_2L^{2Me}]((PF_6)_2)$ (4)



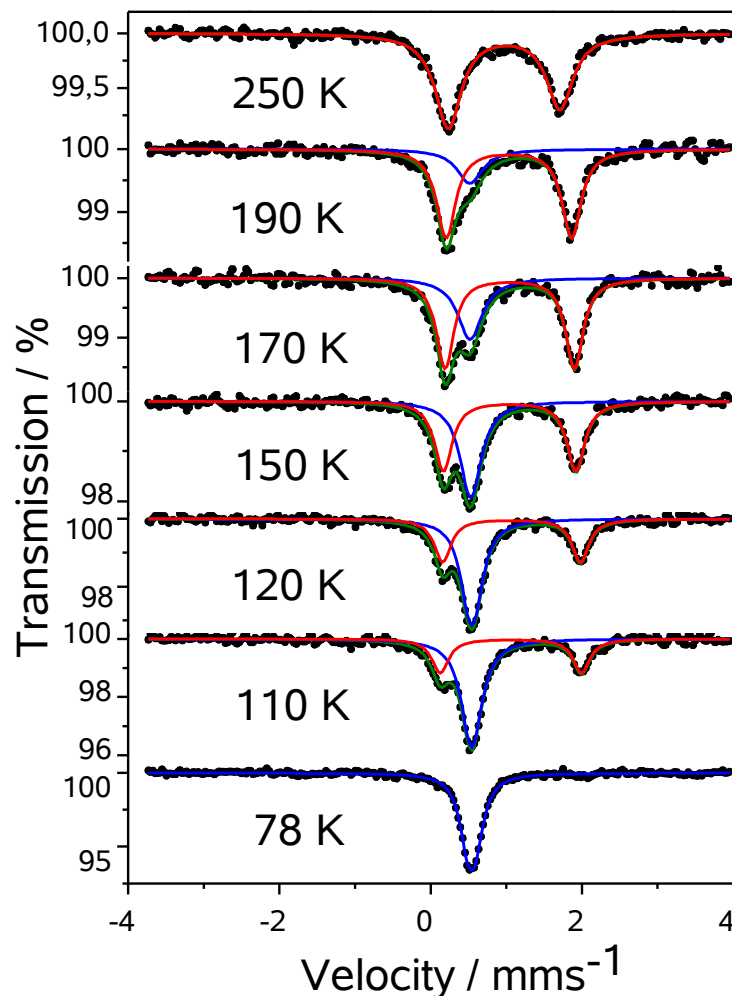
Les spectres Mössbauer ne mettent pas en évidence la présence d'un plateau HS-LS vers 110-150 K

BS (100%, 78 K):
 $\delta = 0.543(3) \text{ mm s}^{-1}$,
 $\Delta EQ = 0.11(2) \text{ mm s}^{-1}$

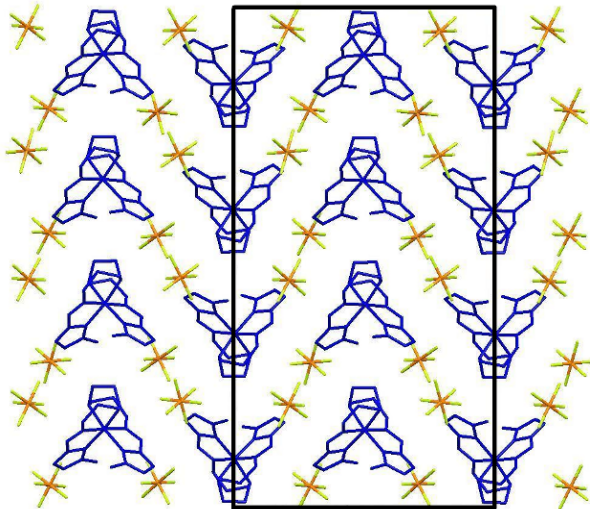
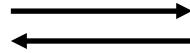
HS (100%, 250K):
 $\delta = 0.971(6) \text{ mm s}^{-1}$,
 $\Delta EQ = 1.48(1) \text{ mm s}^{-1}$



TS en deux étapes:
 $HS \rightleftharpoons (1/2HS + 1/2LS) \rightleftharpoons LS$



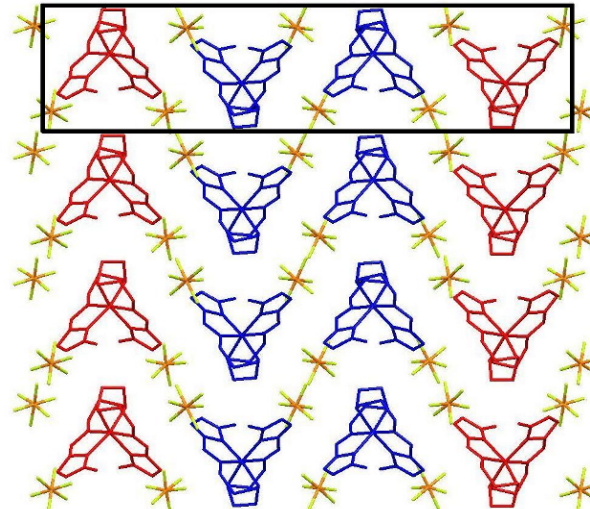
Etude cristallographique de (4)



80 K BS

Orthorhombique,
 $P2_22_1$

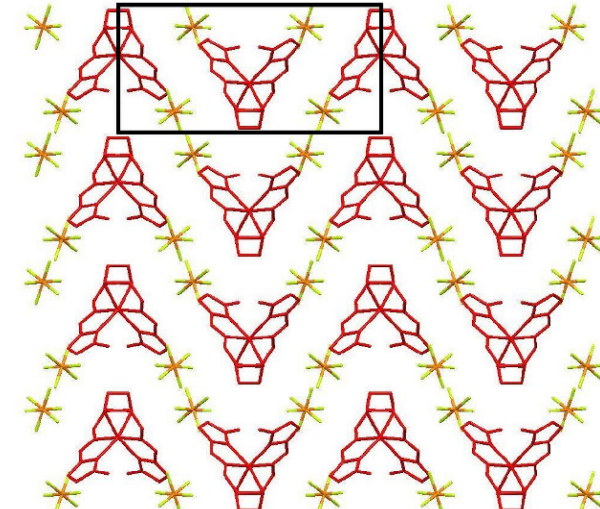
$a = 32.532(3)$, $b = 9.424(1)$,
 $c = 17.054(1)$ Å



110 K HS/BS

Monoclinique,
 $P2_1$

$a = 8.185(1)$, $b = 9.390(8)$,
 $c = 35.543(2)$ Å, $\beta = 90.011(7)^\circ$



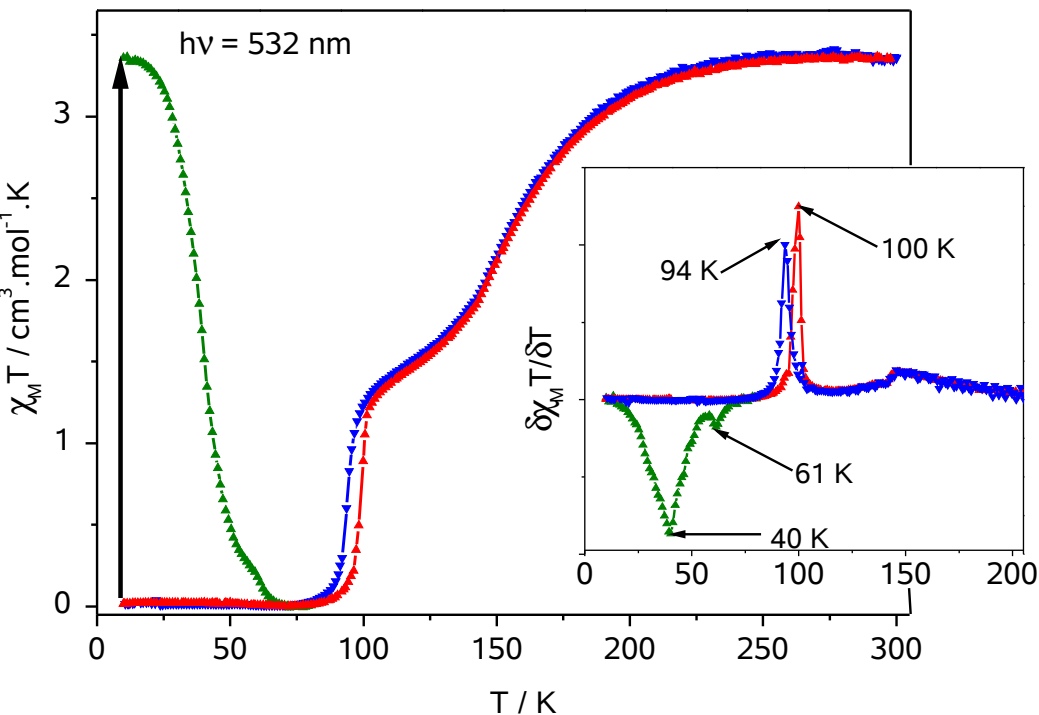
250 K HS

Orthorhombique,
 $P2_12_12_1$

$a = 8.405(1)$, $b = 9.469(2)$,
 $c = 17.399(3)$ Å

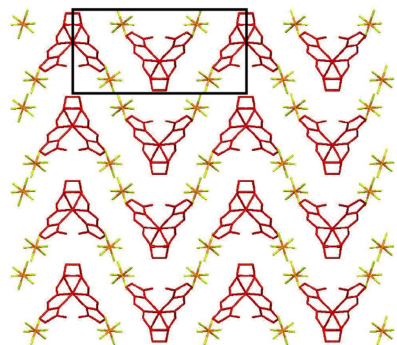
Structure	250 K HS	110 K site 1	110 K site 2	80 K BS site 1	80 K BS site 2
<Fe-N> (Å)	2.190(2)	2.13(1)	2.05(1)	2.012(3)	2.012(3)

Effet LIESST pour $\text{Fe}[\text{H}_2\text{L}^{2\text{Me}}](\text{PF}_6)_2$ (4)



- Relaxation de l'état HS PI vers l'état BS en deux étapes (40K et 61K)
- Etat HS photoinduit distinct de l'état HS "thermique"

Structure	250 K HS	HS PI site 1	HS PI site 2
<Fe-N> (Å)	2.190(2)	2.17(1)	2.18(1)

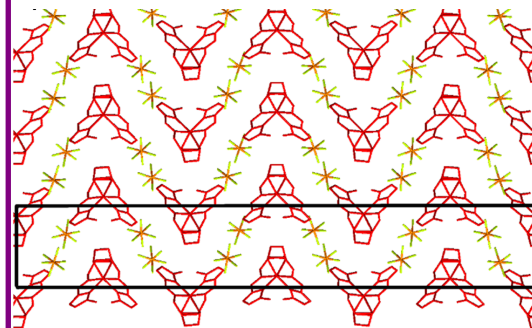


Orthorhombique,
 $P2_12_12_1$

$a = 8.405(1) \text{ \AA}$,
 $b = 9.469(2) \text{ \AA}$,
 $c = 17.399(3) \text{ \AA}$

HS (250 K)

\neq

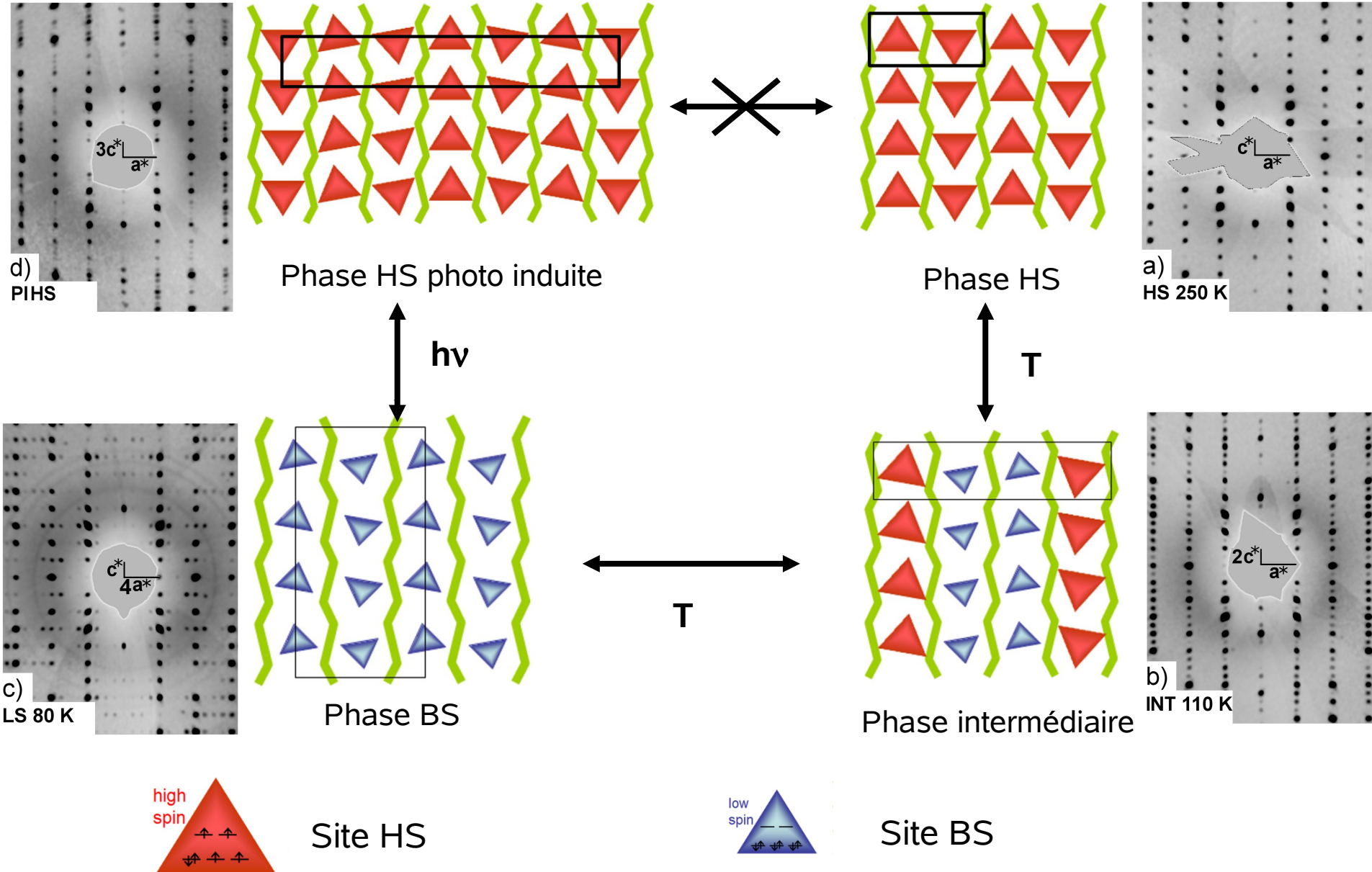


Orthorhombique,
 $P2_12_1$

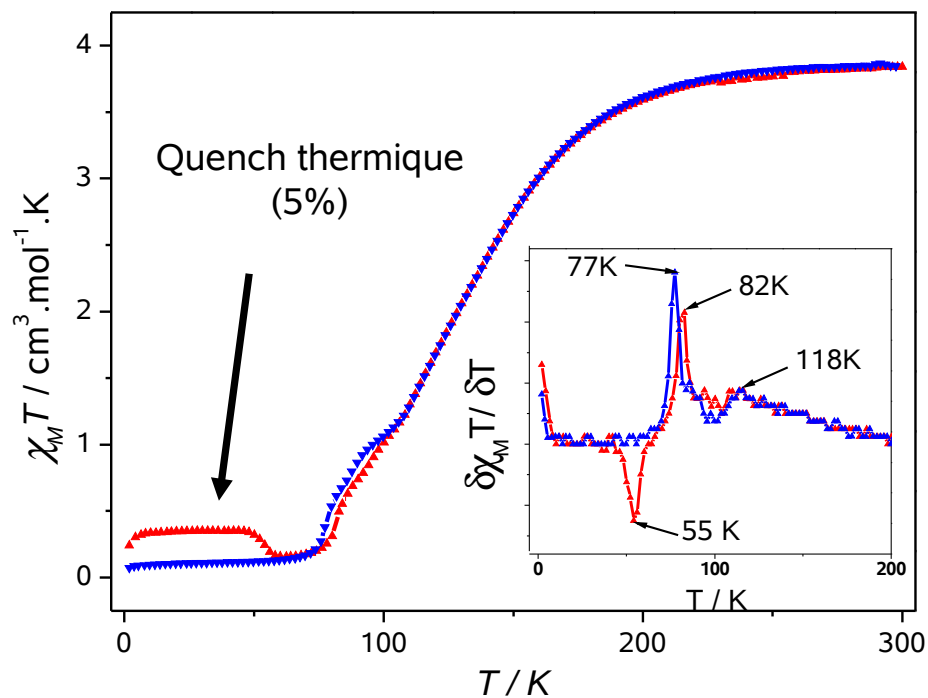
$a = 8.226(2) \text{ \AA}$,
 $b = 9.330(1) \text{ \AA}$,
 $c = 52.20(1) \text{ \AA}$

HS PI (10 K)

En résumé...



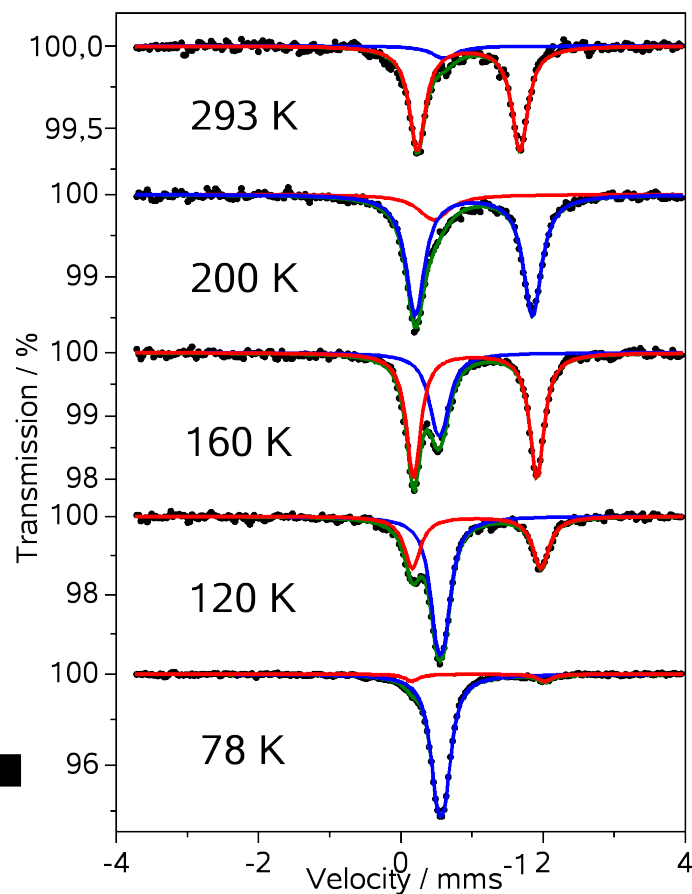
Etudes magnétiques et Mössbauer de $FeH_2L^{2M\oplus} (AsF_6^-)_2$ (5)



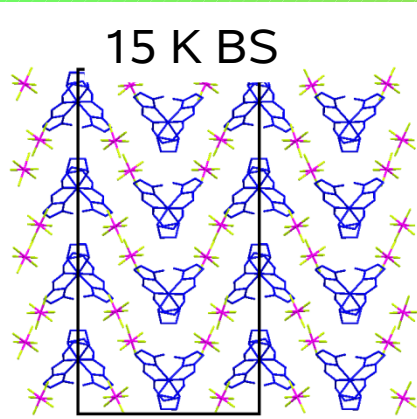
BS (93%, 78 K):
 $\delta = 0.561(2) \text{ mm s}^{-1}$,
 $\Delta EQ = 0.112(5) \text{ mm s}^{-1}$

HS (7%, 78K):
 $\delta = 1.08(7) \text{ mm s}^{-1}$,
 $\Delta EQ = 1.87(1) \text{ mm s}^{-1}$

TS graduelle et complète, en deux étapes (1/3, 2/3 ?) avec hystérésis

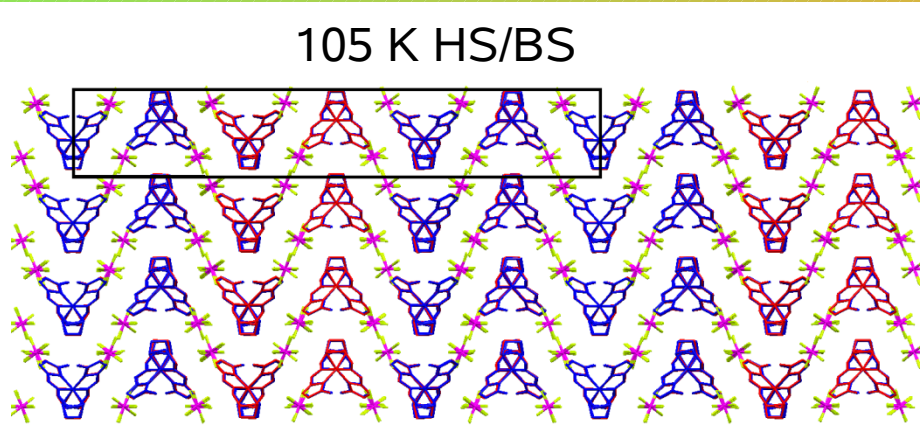


Etude cristallographique de (7)



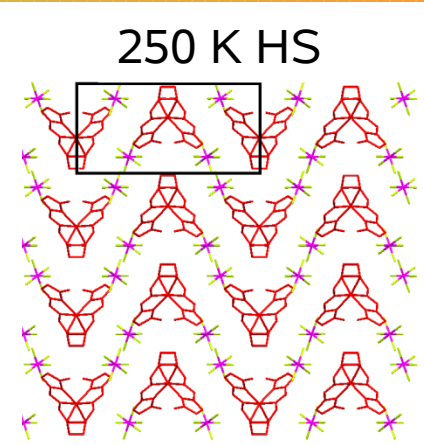
Orthorhombique,
 $P22_12_1$

$a = 32.746(3)$, $b = 9.454(1)$,
 $c = 17.2850(1)$ Å



Orthorhombique,
 $P22_12_1$

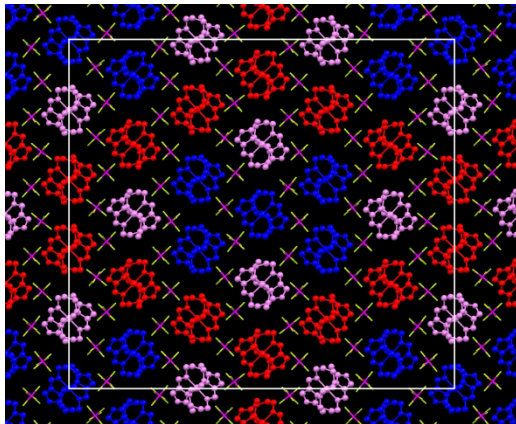
$a = 8.2451(7)$, $b = 47.197(4)$,
 $c = 52.289(4)$ Å



Orthorhombique,
 $P2_12_12_1$

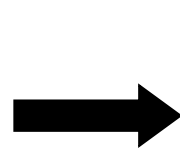
$a = 8.4897(10)$, $b = 9.505(4)$,
 $c = 17.2850(10)$ Å

Structure	250 K HS	105 K site 1	105 K site 2	105 K site 3	80 K BS site 1	80 K BS site 2
<Fe-N> (Å)	2.187(2)	2.103(1)	2.056(7)	2.004(1)	2.025(3)	2.021(3)



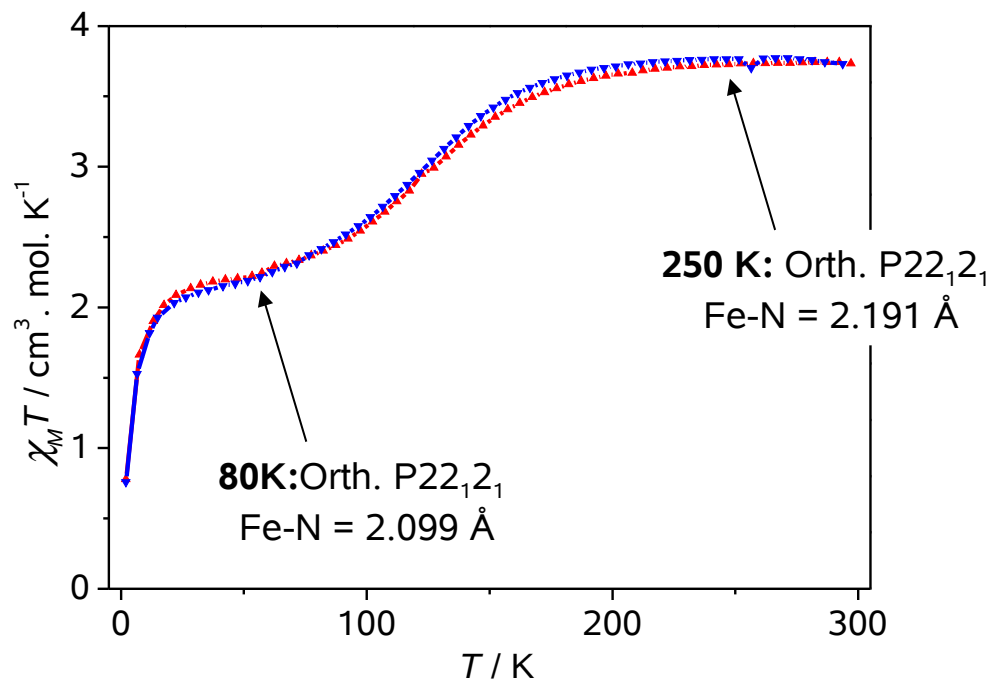
A 105 K: 30 molécules/maille

- 10 molécules **BS** (Fe-N = 2.004 Å)
- 8 molécules majoritairement **BS** (Fe-N = 2.056 Å)
- 12 molécules **HS** (Fe-N = 2.103 Å)



- Bon accord entre les propriétés magnétiques et structurales
- Mise en ordre en « losange »

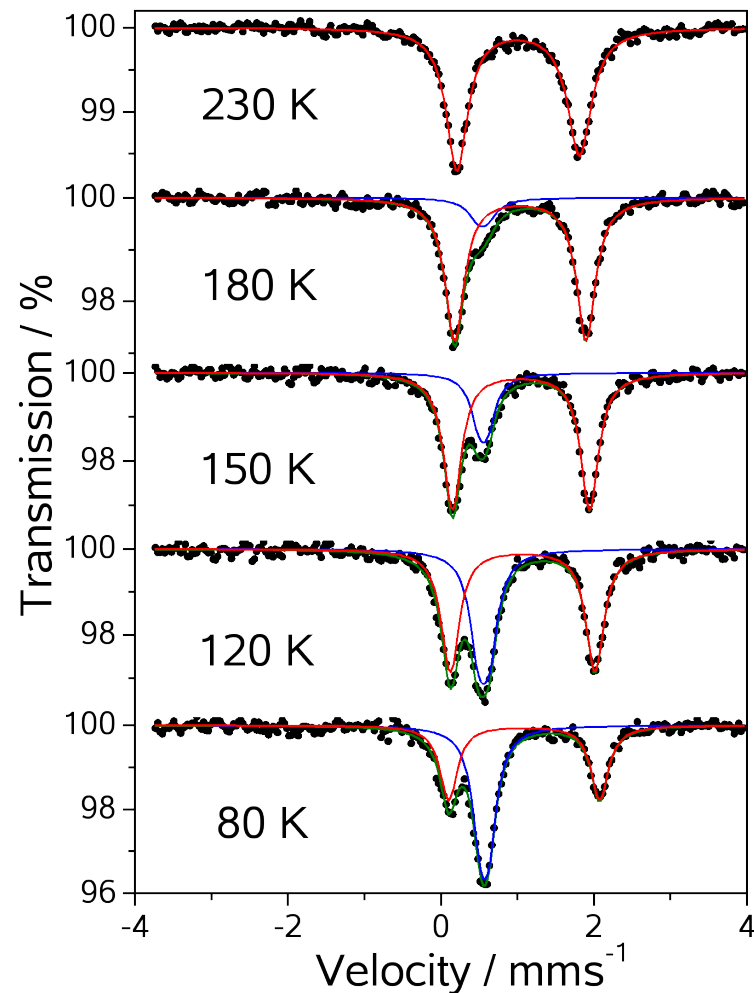
Etudes magnétiques et Mössbauer de $\text{FeH}_2\text{L}^{2M\oplus} (\text{SbF}_6^-)_2$ (6)



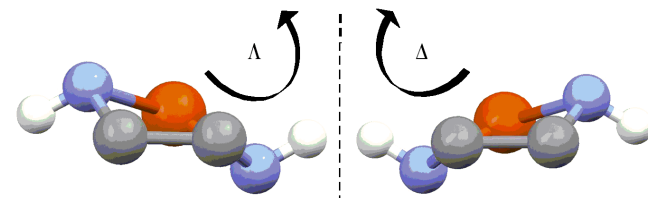
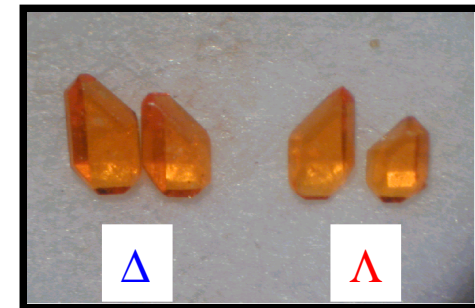
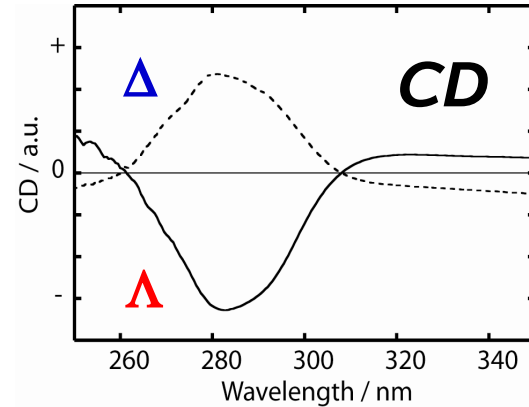
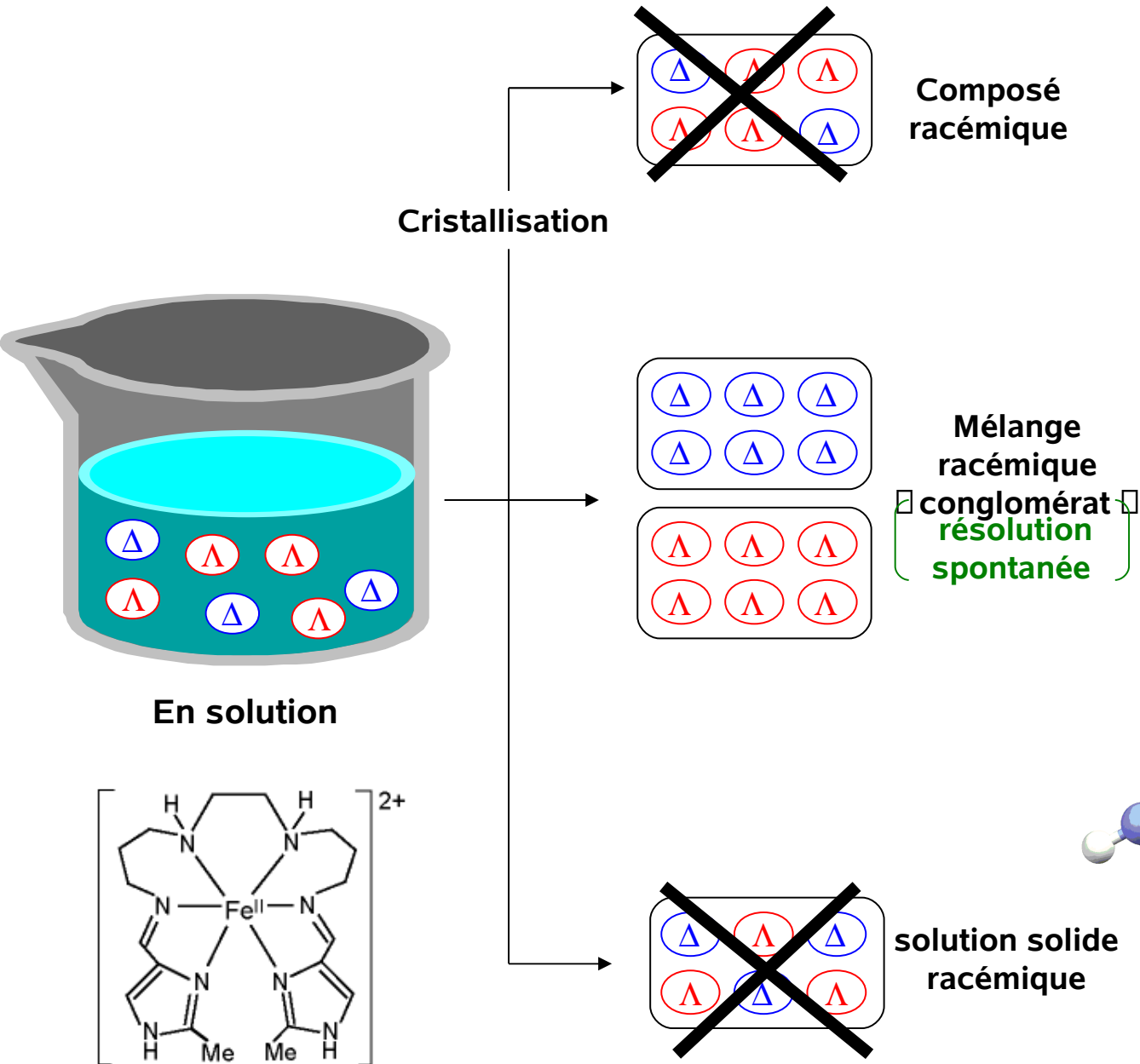
TS graduelle et incomplète (50%):
 $\text{HS} \rightleftharpoons (\frac{1}{2} \text{HS} + \frac{1}{2} \text{BS})$

BS (53%, 80 K):
 $\delta = 0.567(5) \text{ mm s}^{-1}$,
 $\Delta\text{EQ} = 0.11(3) \text{ mm s}^{-1}$

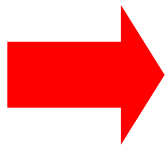
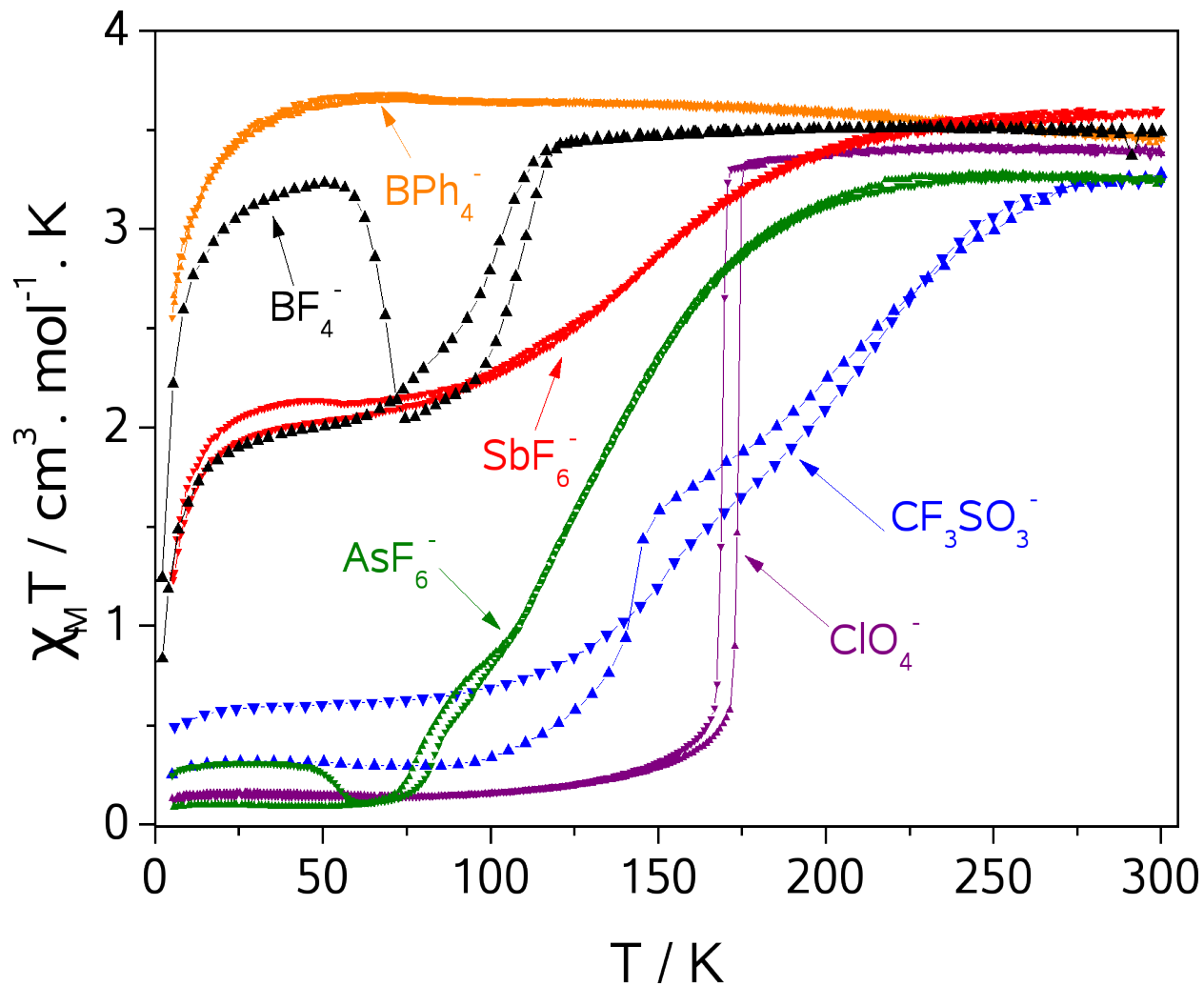
HS (47%, 80K):
 $\delta = 1.084(8) \text{ mm s}^{-1}$,
 $\Delta\text{EQ} = 1.98(2) \text{ mm s}^{-1}$



Résolution Spontanée et chiralité



La famille $[\text{FeH}_2\text{L}^{2\text{Me}}]\text{X}_2$

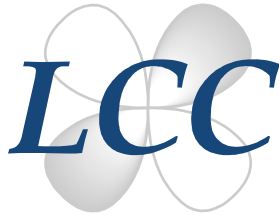


La TS peut être modulée par la nature du contre-anion

Remerciements



Prof. J.-P. Tuchagues, Dr. A Bousseksou,
Dr. G. Molnar, Dr. S Cobo, J. Come
LCC, Toulouse



Dr. L. Toupet, Prof. E. Collet
Institut de Physique de Rennes



S. Imatomi, H. Torigoe, H. Hagiwarara, Prof. N.
Matsumoto,

Department of Chemistry, Kumamoto University



A. Eguchi, Dr. H. Watanabe, Prof. K. Tanaka,
Department of Physics, Kyoto University



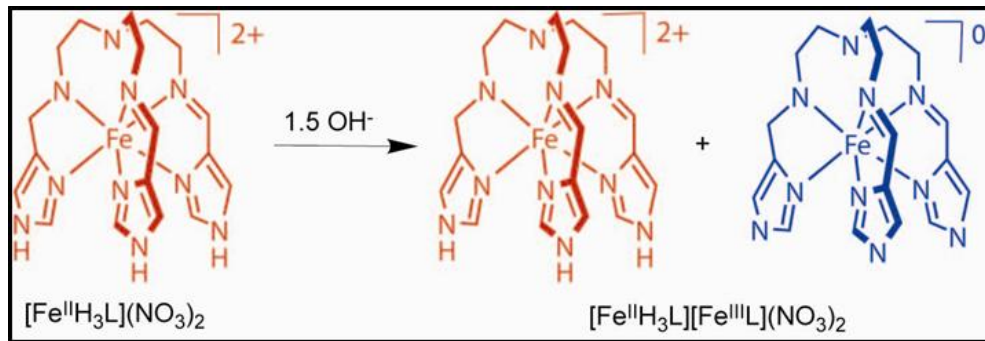
Prof. M. Kojima
**Department of Chemistry,
Okayama University**



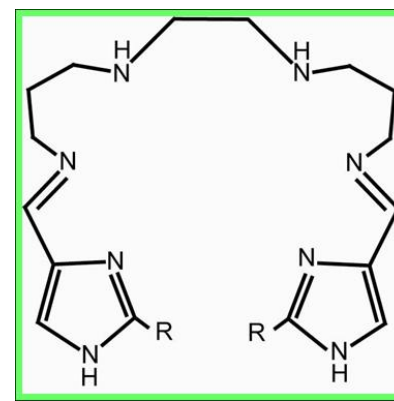
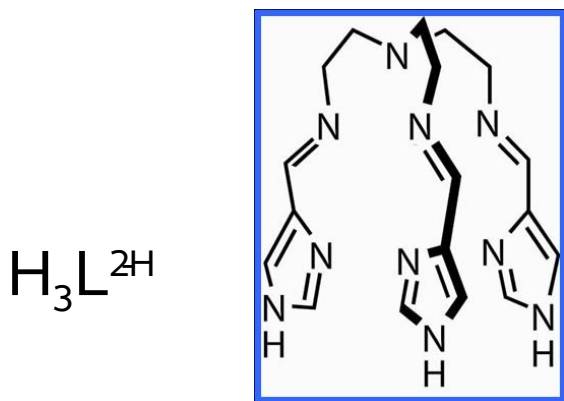
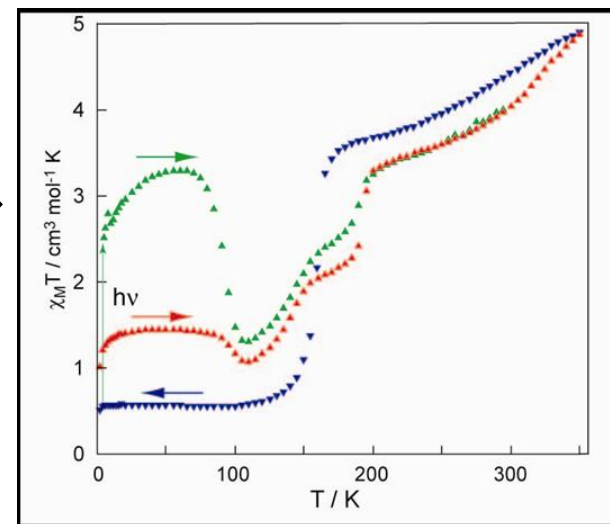
Merci pour votre attention !!

TS et chiralité...

Y. Sunatsuki, N. Matsumoto et al., *Angew. Chem.Int. Ed.* 2003



Complexe homochiral à transition de spin et valence mixte (Fe^{II}/Fe^{III})

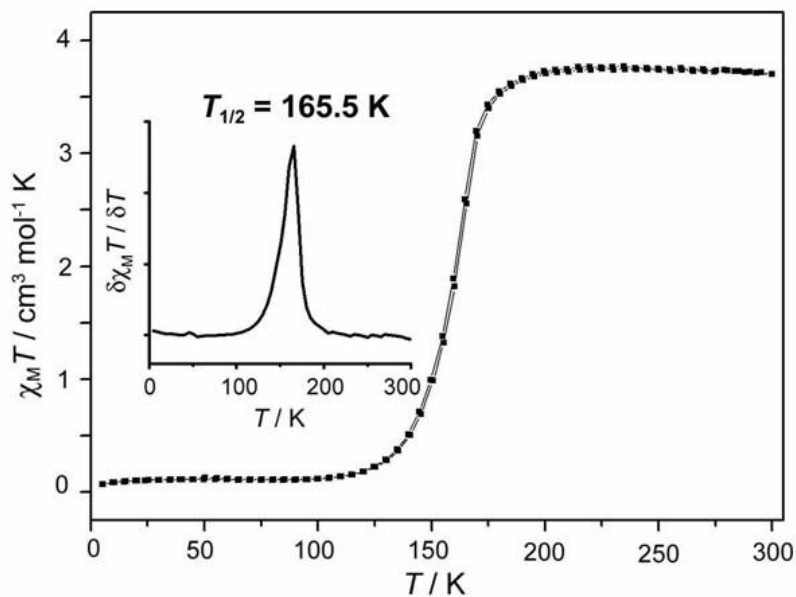
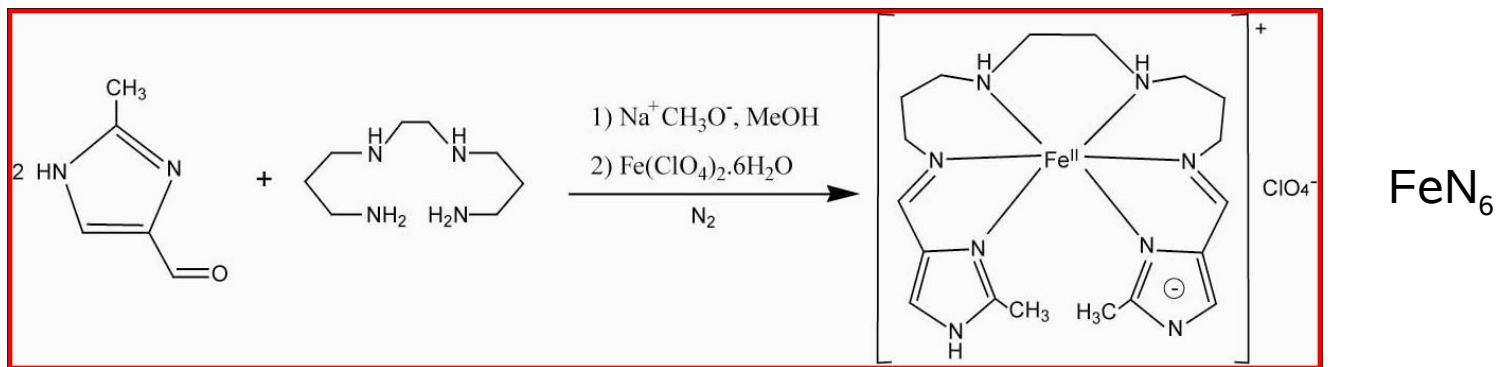


??

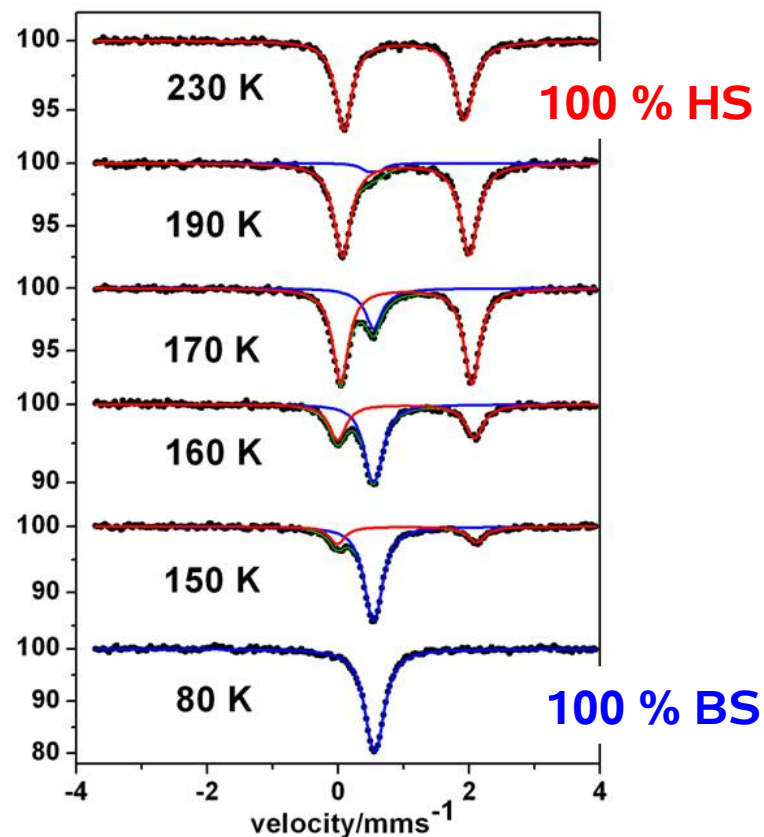
$\text{H}_2\text{L}^{2\text{Me}}$

Le cas de $[FeHL^{2Me}]ClO_4$ (4)

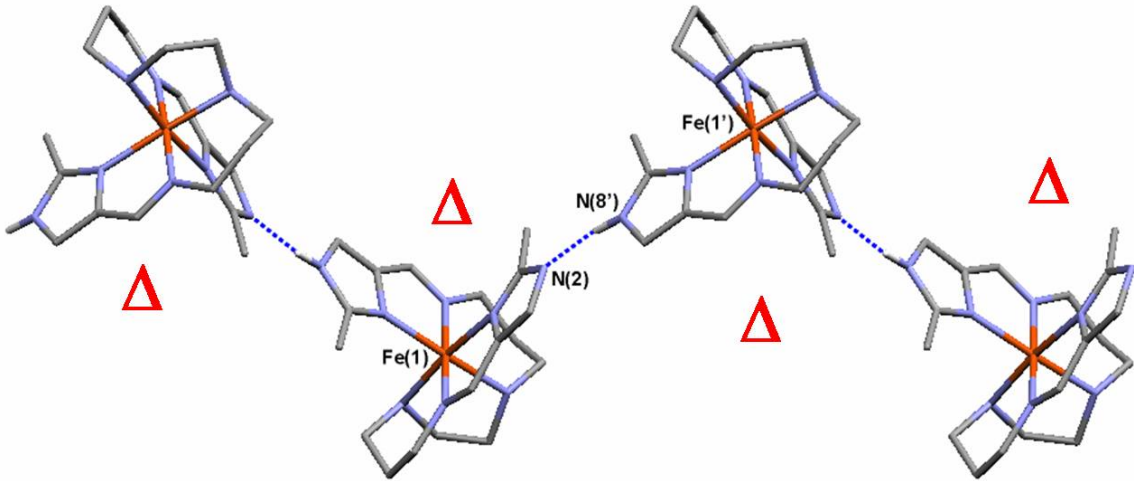
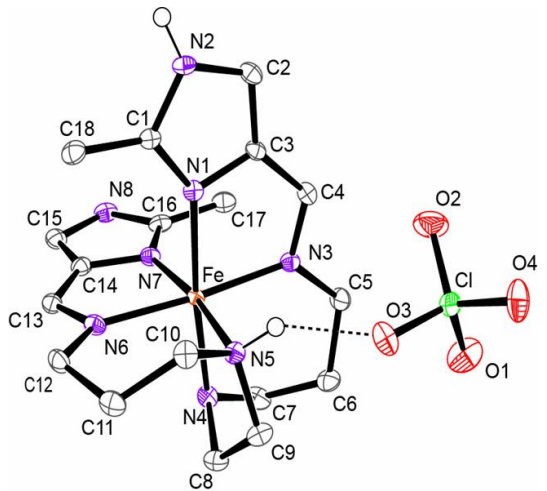
Synthèse



➔ TS graduelle



Structure Cristallographique de $[FeHL^{2Me}]ClO_4$ (4)



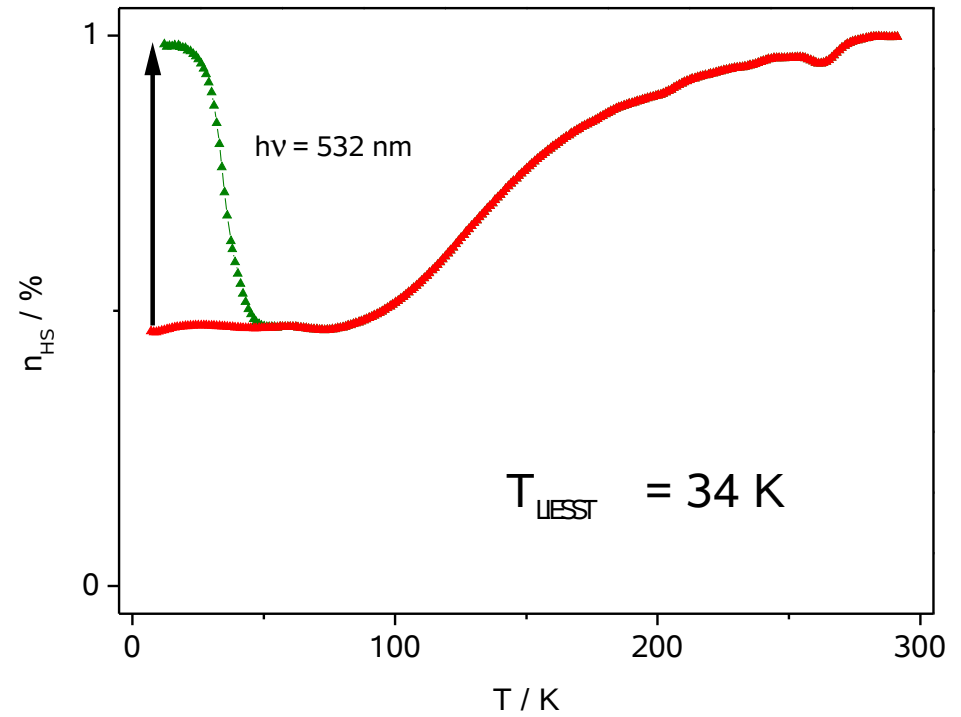
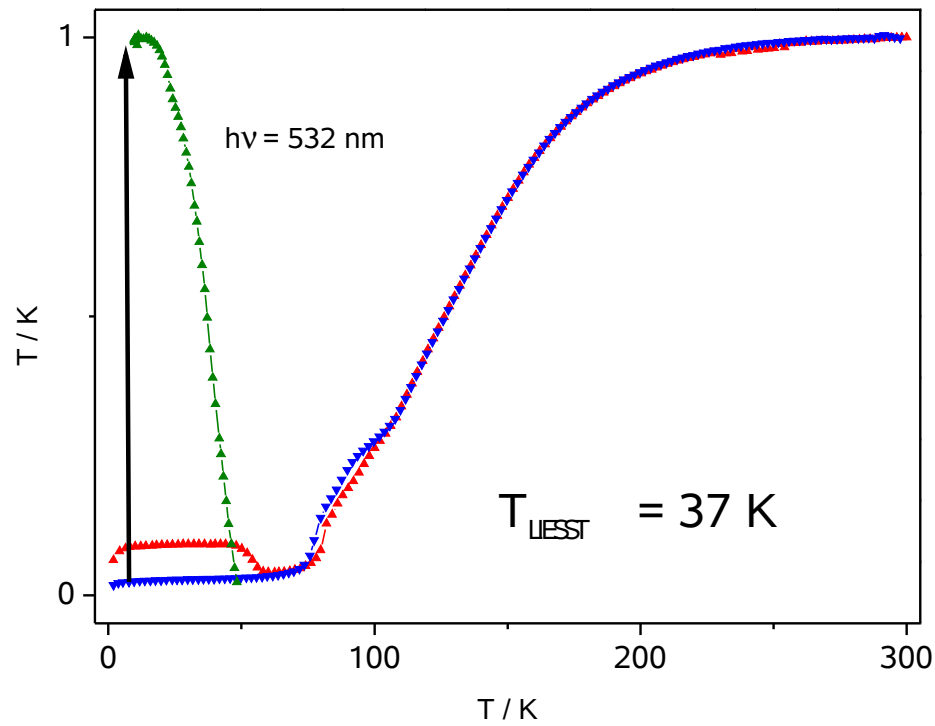
$FeC_{18}H_{30}N_8ClO_4$	
$M = 512.79 \text{ gmol}^{-1}$	
Orthorhombique ($Z = 8$)	
Pbca	
T = 100 K	T = 180 K
$a = 12.734(3)\text{\AA}$	$13.306(3)\text{\AA}$
$b = 15.289(3)\text{\AA}$	$15.655(3)\text{\AA}$
$c = 21.844(4)\text{\AA}$	$21.288(4)\text{\AA}$

★ Molécules Adjacentes connectées par liaisons hydrogène (imidazole-imidazolite)

➔ Chaînes en zig-zag homochirales

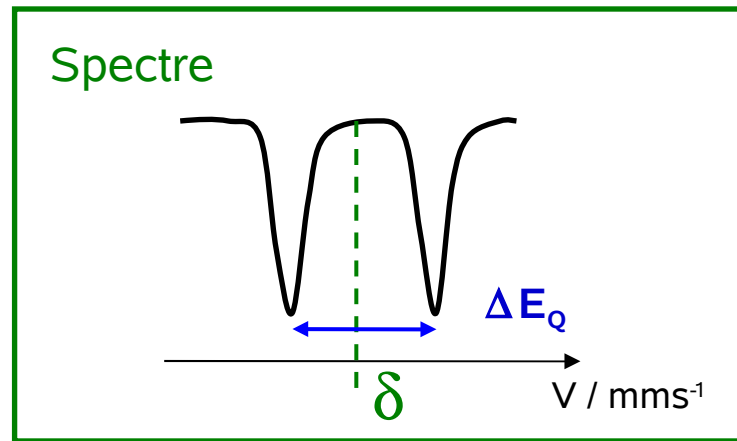
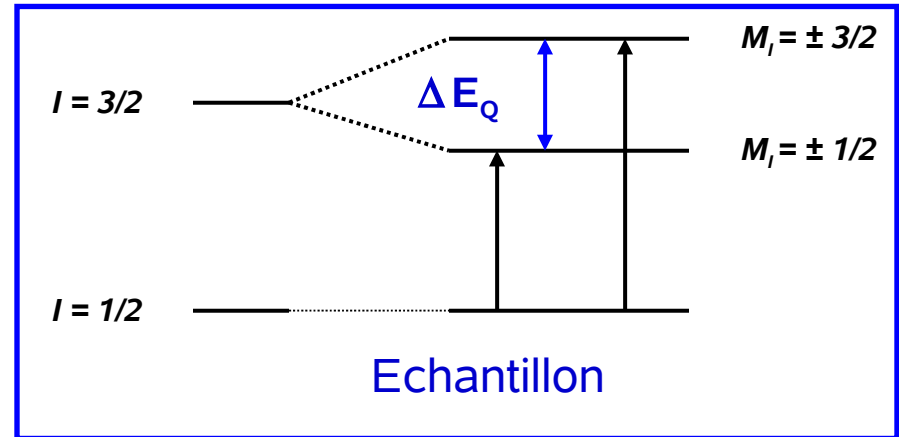
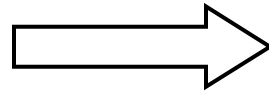
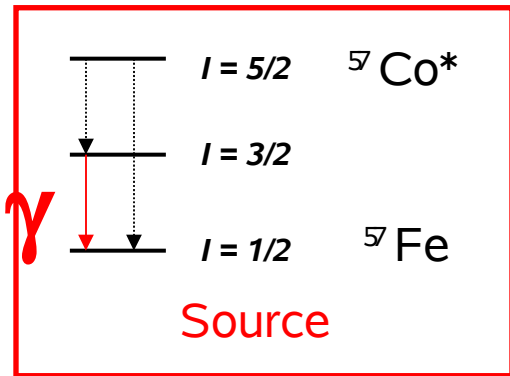
★ Alternance de chaînes de chiralité opposée dans le crystal: matériau achiral

Effet LIESST de (7) et (8)

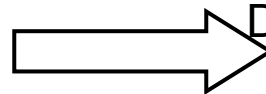


Effet LIESST quantitatif

La spectroscopie Mössbauer ^{57}Fe

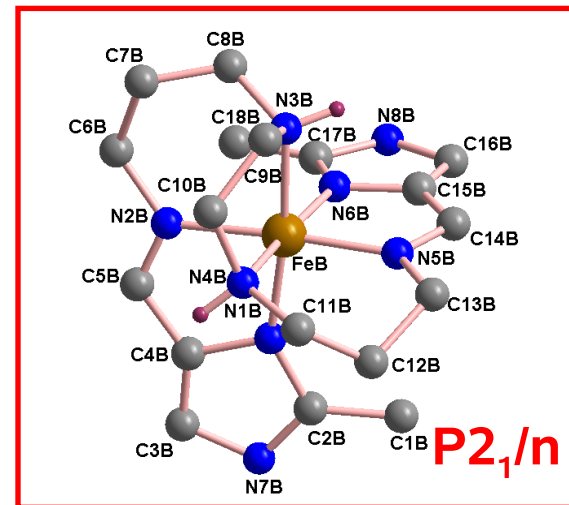
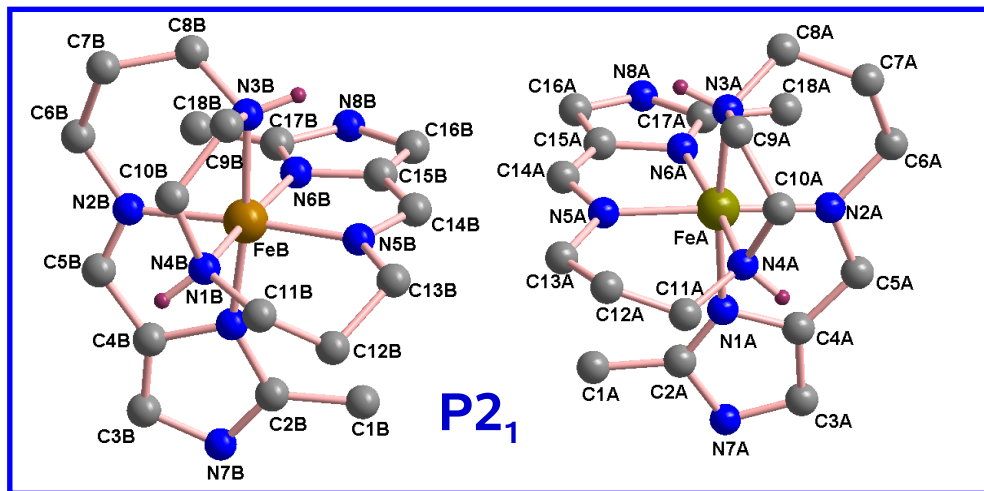


ΔE_Q = éclatement quadrupolaire
 δ = déplacement isomérique



Détermination de l'environnement chimique
et de la structure électronique

Structure Moléculaire de $[FeH_2L^{2Me}](ClO_4)_2$

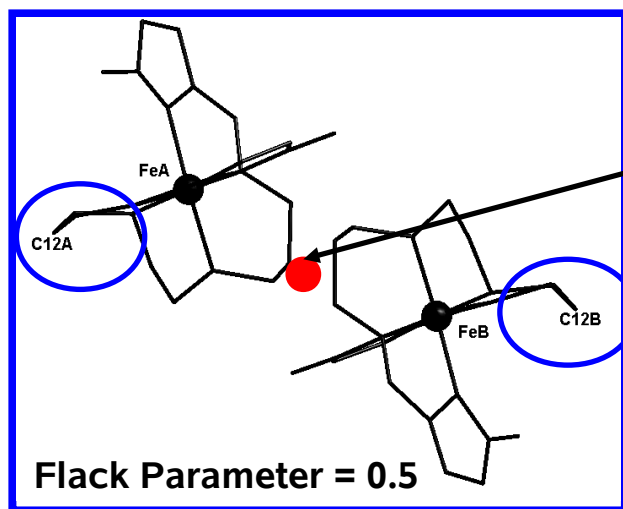
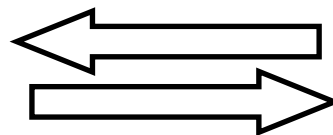


Δ “racemic twin” Λ

Δ/Λ

BAS-SPIN

HAUT-SPIN



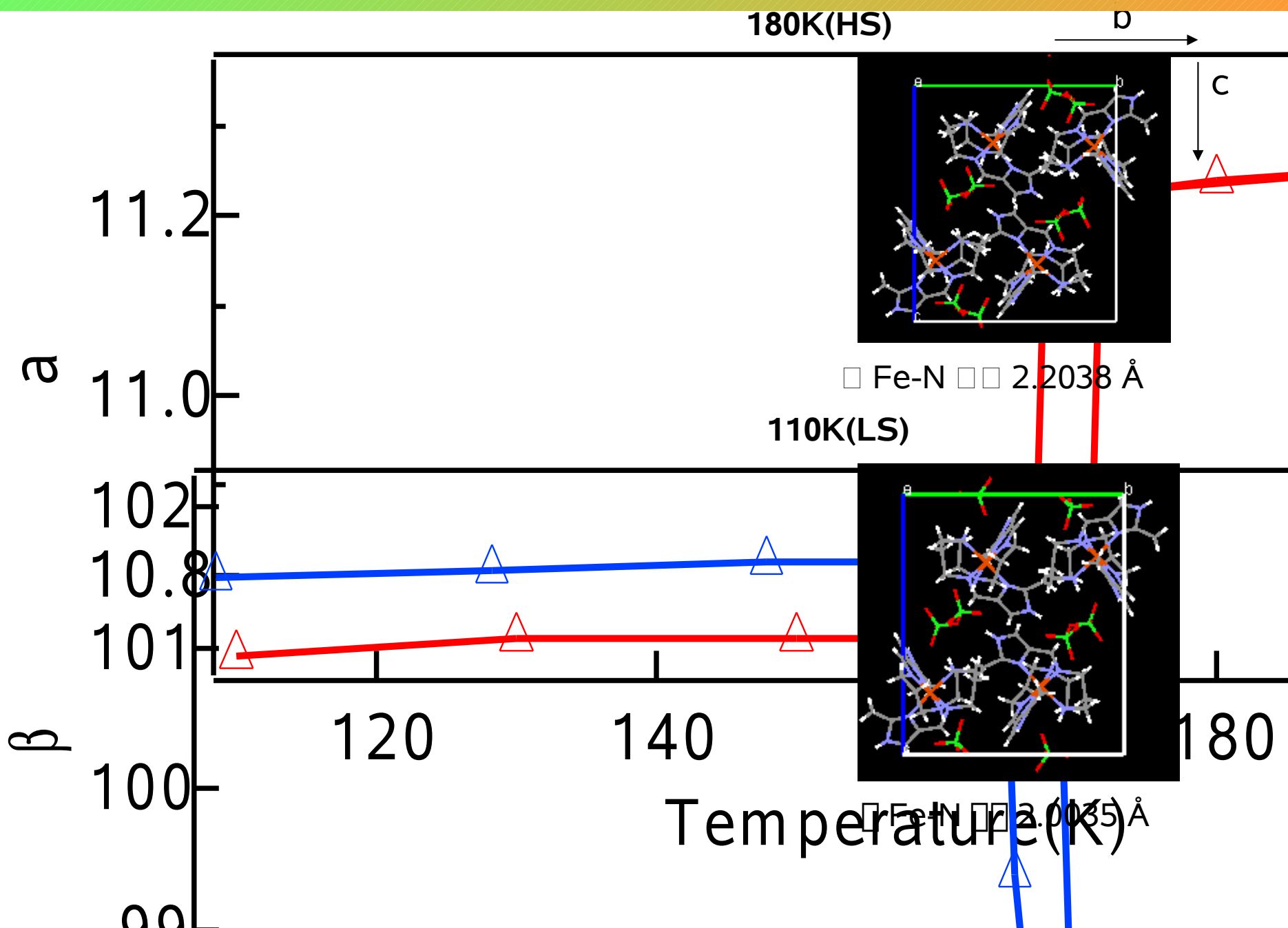
Centre de pseudo-inversion

orientation non-opposée des atomes
C12B et C12A

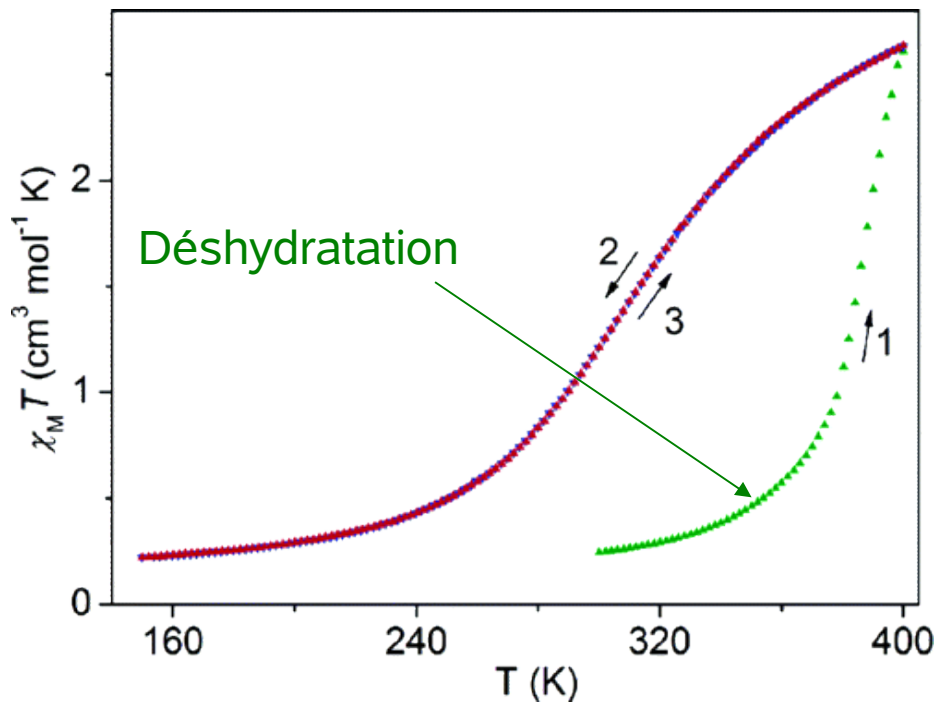
Perte de centre de symétrie

→ Groupe d'espace P2₁

Variation des paramètres de maille de $[FeH_2L^{2Me}](ClO_4)_2$ (5)

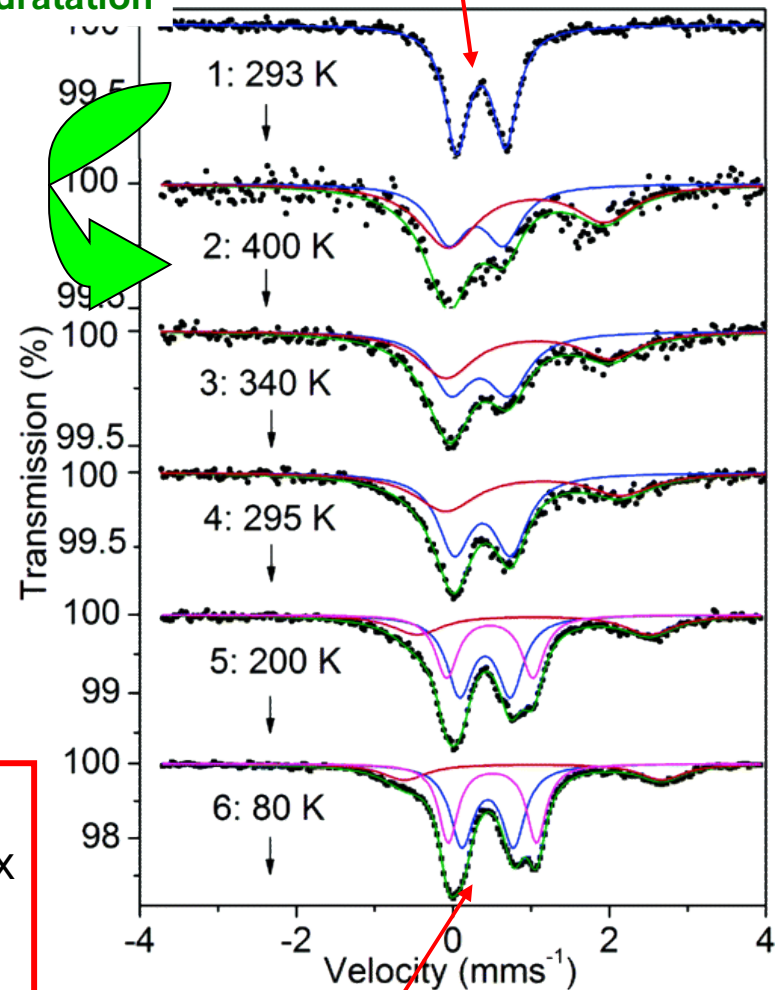


Propriétés Magnétiques de $[FeL^{D2}(NCSe)_2] \cdot H_2O$ (2)



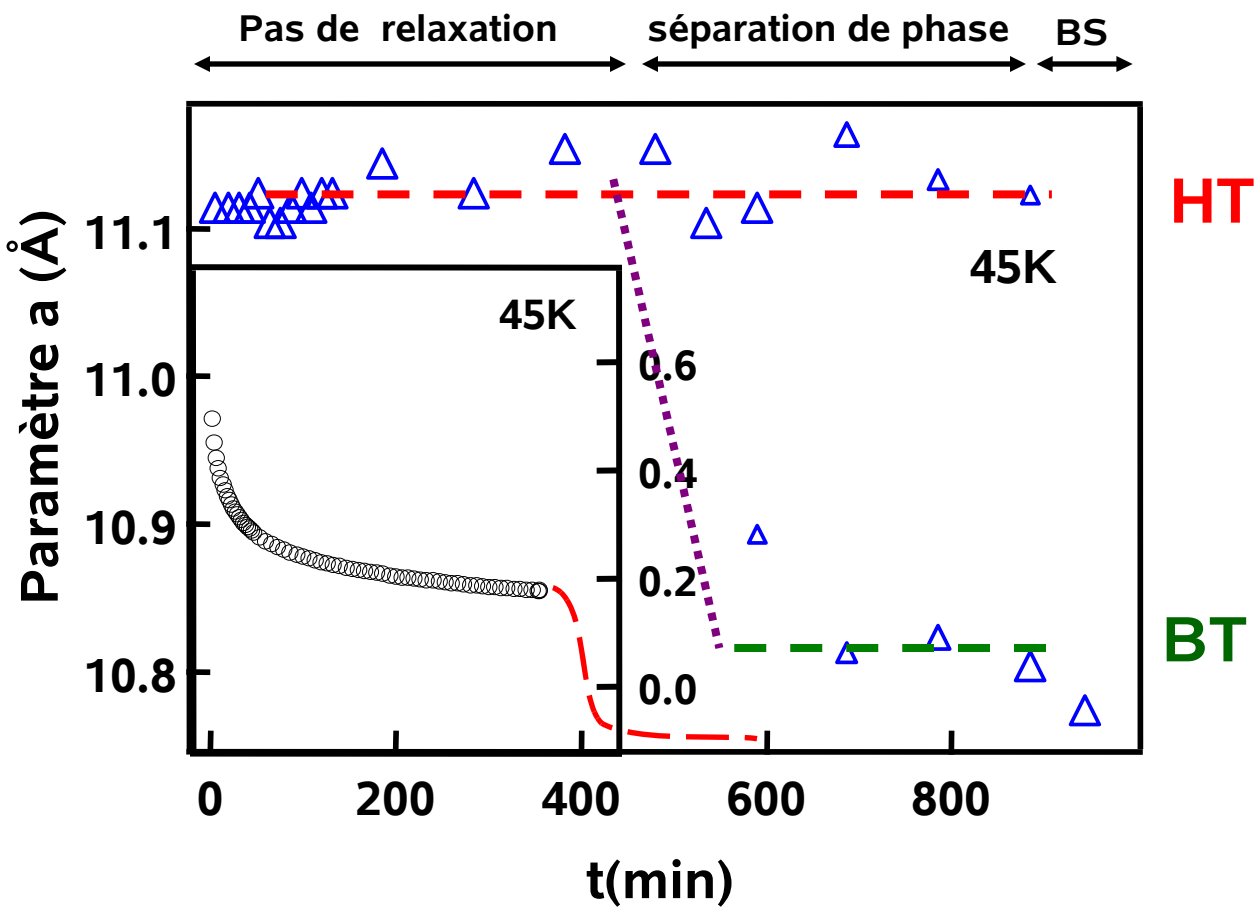
- TS Graduelle et incomplete
- Une seule étape malgré la présence de deux sites Fe^{II} distincts
→ effet de masse S/Se

Complexe hydraté : un site Fe^{II} unique
déshydratation

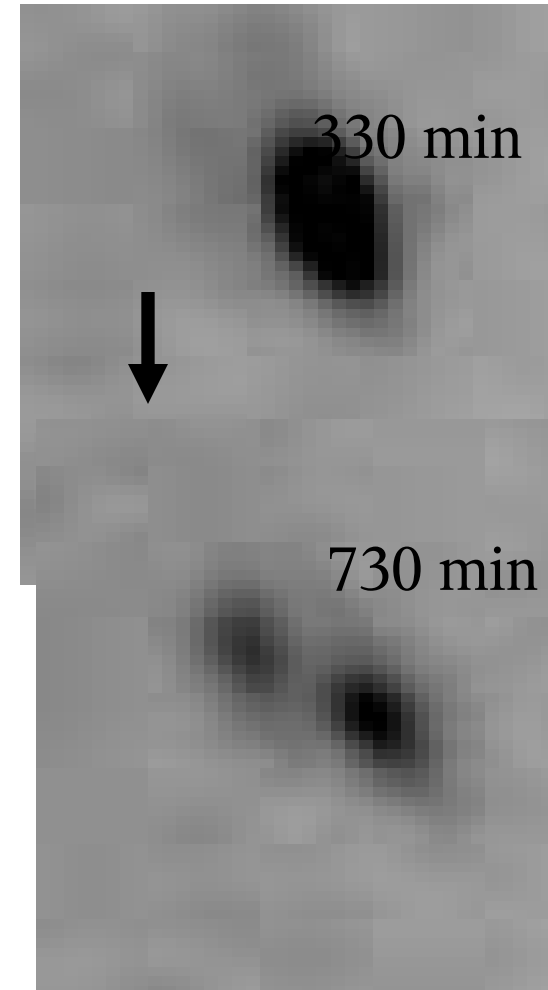


Complexe Déshydraté : 2 sites Fe^{II}

Evolution du paramètre a en $f(t)$ à 45K

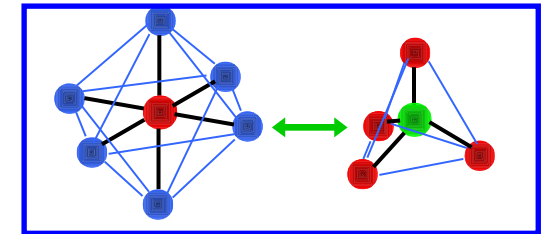
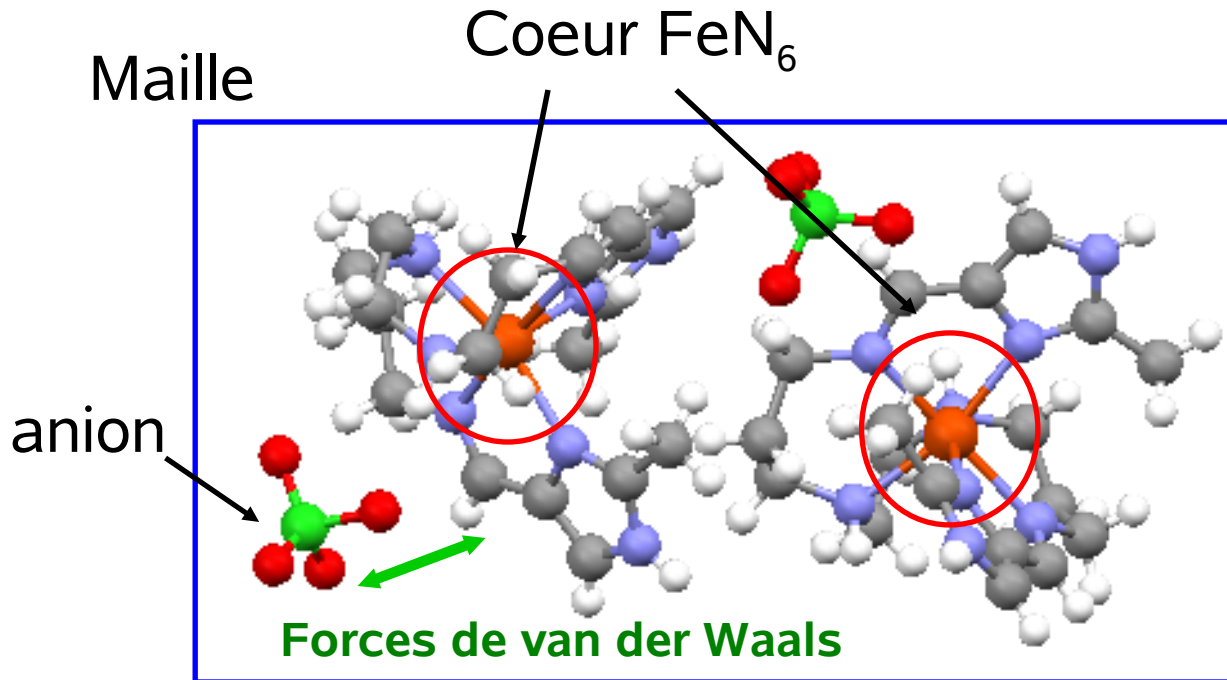


Tâche de Bragg (-7,0,3)

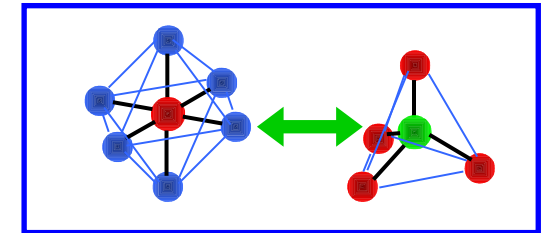


- Séparation de phase entre les états HT et BT
- Décalage entre la relaxation du réseau et de spin: temps d'incubation

Origine de la différence des relaxations de spin et de réseau ?



Changement
de spin sans
changement de
réseau



Maille "élastique" ?